



KARTOTEKA
RZADKICH
PTAKÓW

Kartoteka Rzadkich Ptaków w Polsce w roku 2021 – gatunki lęgowe

Szymon Beuch^{1,2}, Łukasz Ławicki^{1,3}, Przemysław Wylegała^{1,4,5},
Arkadiusz Sikora^{1,6}, Jacek Betleja⁷, Szymon Bzoma⁸, Zdzisław Cenian⁹,
Robert Cymbała^{1,10}, Paweł Czechowski^{1,11}, Stanisław Czyż^{1,12},
Piotr Dębowski^{1,13}, Andrzej Dylak¹, Andrzej Górski¹⁴, Wojciech Guzik¹,
Fatima Hayatli^{15,4}, Krzysztof Jankowski¹, Zbigniew Kajzer¹,
Łukasz Krajewski^{1,16}, Dorota Łukasik¹⁷, Łukasz Matyjasiak^{1,18},
Grzegorz Neubauer¹⁹, Przemysław Obłoz^{20,21}, Sławomir Sielicki²²,
Bartosz Smyk^{1,4}, Krzysztof Stasiak⁴, Łukasz Wardecki⁴, Marcin Wężyk^{1,23},
Maria Wieloch⁶, Bartłomiej Woźniak²⁴, Monika Zielińska⁶,
Piotr Zieliński⁶, Tomasz Chodkiewicz^{1,2,4}

¹ Kartoteka Rzadkich Ptaków, <http://rzadkieptaki.pl/koordynatorzy/>

² Muzeum i Instytut Zoologii PAN, Wilcza 64, 00-679 Warszawa; tchodkiewicz@miiz.waw.pl, sbeuch@miiz.waw.pl

³ Eco-Expert, Dworcowa 2/317, 70-206 Szczecin; izuz@interia.pl

⁴ Ogólnopolskie Towarzystwo Ochrony Ptaków, Odrowąża 24, 05-270 Marki

⁵ Polskie Towarzystwo Ochrony Przyrody Salamandra, Stolarska 7/3, 60-788 Poznań; przemo@salamandra.org.pl

⁶ Stacja Ornitologiczna Muzeum i Instytut Zoologii PAN, Nadwiślańska 108, 80-680 Gdańsk, asikora@miiz.waw.pl

⁷ Muzeum Górnośląskie, pl. Jana III Sobieskiego 2, 41-902 Bytom

⁸ Grupa Badawcza Ptaków Wodnych KULING, Świerkowa 34/7, 81-526 Gdynia

⁹ Komitet Ochrony Orłów, Niepodległości 53/55, 10-044 Olsztyn

¹⁰ Lubelskie Towarzystwo Ornitologiczne, Mełgiewska 74/209, 20-234 Lublin

¹¹ Instytut Sportu, Turystyki i Żywienia, Uniwersytet Zielonogórski, Szafrana 1, 65-516 Zielona Góra

¹² Małopolskie Towarzystwo Ornitologiczne, Do Wilgi 11, 30-419 Kraków

¹³ Towarzystwo Badań i Ochrony Przyrody, Sienkiewicza 68, 25-501 Kielce

¹⁴ Katedra Ekologii i Ochrony Środowiska, Uniwersytet Warmińsko-Mazurski, Plac Łódzki 3, 10-727 Olsztyn

¹⁵ Katedra Badania Różnorodności Biologicznej, Dydaktyki i Bioedukacji, Uniwersytet Łódzki, Banacha 1/3, 90-237 Łódź

¹⁶ Biebrzański Park Narodowy, Osowiec–Twierdza 8, 19-110 Goniądz

- ¹⁷ Główny Inspektorat Ochrony Środowiska, Departament Monitoringu Środowiska, Bitwy Warszawskiej 1920 r. 3, 02-362 Warszawa 311
- ¹⁸ Mazowiecko-Świętokrzyskie Towarzystwo Ornitologiczne, Radomska 7, 26-670 Pionki
- ¹⁹ Pracownia Biologii Lasu, Uniwersytet Wrocławski, Sienkiewicza 21, 50-335 Wrocław
- ²⁰ Wydział Nauk Ścisłych i Przyrodniczych, Uniwersytet w Siedlcach, 3 Maja 54, 08-110 Siedlce
- ²¹ Towarzystwo Przyrodnicze Bocian, Srebrna 16/9, 00-810 Warszawa
- ²² Stowarzyszenie Na Rzecz Dzikich Zwierząt Sokół, Promienna 11, 87-800 Włocławek
- ²³ Piotrkowskie Towarzystwo Przyrodnicze, 1 Maja 21/5, 97-300 Piotrków Trybunalski
- ²⁴ Samodzielny Zakład Zoologii Leśnej i Łowiectwa, Inst. Nauk Leśnych, SGGW, Nowoursynowska 159, 02-776 Warszawa

Abstrakt: Raport podsumowuje wyniki zebrane w Kartotece Rzadkich Ptaków dotyczące gatunków lęgowych w Polsce w roku 2021. Scharakteryzowano populacje lęgowe 32 rzadkich taksonów (30 gatunków i 2 podgatunków) opisując ich liczebność, rozmieszczenie i trendy. Rekordową liczebność odnotowano dla: łabędzia krzykliwego *Cygnus cygnus* (308 par), gęsiówki egipskiej *Alopochen aegyptiaca* (36 p.), ostrygojada *Haematopus ostralegus* (40 p.), szczudłaka *Himantopus himantopus* (10 p.), ślepowrona *Nycticorax nycticorax* (1 315 p.), czapli białej *Ardea alba* (845 p.) oraz sokoła wędrownego *Falco peregrinus* (68 p.). Wzrost liczebności odnotowano także w przypadku: helmiatki *Netta rufina* (44 p.), mandarynki *Aix galericulata* (88 p.) i puszczyka mszarnego *Strix nebulosa* (11 p.). Trend spadkowy dotyczył m.in. sieweczki obroźnej *Charadrius hiaticula* (179 p.), rycyka *Limosa limosa* (381 p.), dubelta *Gallinago media* (486 samców), mewy czarnogłowej *Ichthyaeetus melanocephalus* (68 p.), rybotowa *Pandion haliaetus* (30 p.), gadożera *Circaetus gallicus* (4 p.), kraski *Coracias garrulus* (16 p.), pomurnika *Tichodroma muraria* (min. 1 p.) i drożdżika *Turdus iliacus* (0–2 p.). Populacje podgorzałki *Aythya nyroca* (102 p.), orlika grubodziobego *Clanga clanga* (18 p.), orła przedniego *Aquila chrysaetos* (30 p.) i wodniczki *Acrocephalus paludicola* (4 724 s.) utrzymywały się na stabilnym poziomie. Fluktuacje lub nieznanne trendy liczebności dotyczyły: ohara *Tadorna tadorna* (118 p.), kulika wielkiego *Numenius arquata* (193 p.), rybitwy czubatej *Thalasseus sandvicensis* (77 p.), rybitwy białoskrzydłej *Chlidonias leucopterus* (4 127 p.), pliszki cytrynowej *Motacilla citreola* (30 p. poza doliną Biebrzy) oraz taksonów, których liczebność nie przekroczyła 10 p., tj. szablodzioba *Recurvirostra avosetta* (2 p.), „srokosza stepowego” *Lanius excubitor homeyeri* (1 p.), czarnowrona *Corvus corone* (4 p.) i „pliszki tundrowej” *M. flava thunbergi* (3 p.). W roku 2021 nie wykryto lęgów bernikli kanadyjskiej *Branta canadensis*, aleksandretty obroźnej *Psittacula krameri*, uszatki błotnej *Asio flammeus* i wójcika *Phylloscopus trochiloides*.

Słowa kluczowe: rzadkie ptaki lęgowe, rozmieszczenie, liczebność, trendy, regiony, Polska, raport 2021

Rare Birds Panel in Poland – report of 2021 for breeding species. Abstract: The report presents the results of the Rare Birds Panel for breeding species in Poland in 2021. The status of breeding populations of 32 rare taxa (30 species and 2 subspecies) was summarized, including their abundance, distribution and trends. Record high abundance was recorded for: Whooper Swan *Cygnus cygnus* (308 pairs), Egyptian Goose *Alopochen aegyptiaca* (36 p.), Eurasian Oystercatcher *Haematopus ostralegus* (40 p.), Black-winged Stilt *Himantopus himantopus* (10 p.), Black-crowned Night Heron *Nycticorax nycticorax* (1315 p.), Great White Egret *Ardea alba* (845 p.) and Peregrine Falcon *Falco peregrinus* (68 p.). In addition, increases in abundance were recorded for: Red-crested Pochard *Netta rufina* (44 p.), Mandarin Duck *Aix galericulata* (88 p.) and Great Grey Owl *Strix nebulosa* (11 p.). The declining trend was detected for: Common Ringed Plover *Charadrius hiaticula* (179 p.), Black-tailed Godwit *Limosa limosa* (381 p.), Great Snipe *Gallinago media* (486 males), Mediterranean Gull *Ichthyaeetus melanocephalus* (68 p.), Osprey *Pandion haliaetus* (30 p.), Short-toed Snake Eagle *Circaetus gallicus* (4 p.), European Roller *Coracias garrulus* (16 p.), Wall-creeper *Tichodroma muraria* (min. 1 p.) and Redwing *Turdus iliacus* (0–2 p.). Populations of Ferruginous Duck *Aythya nyroca* (102 p.), Greater Spotted Eagle *Clanga clanga* (18 p.), Golden Eagle *Aquila chrysaetos* (30 p.), and Aquatic Warbler *Acrocephalus paludicola* (4724 p.) remained stable. Fluctuations or unknown trends in abundance were observed for Common Shelduck *Tadorna ta-*

dorna (118 p.), Eurasian Curlew *Numenius arquata* (193 p.), Sandwich Tern *Thalasseus sandvicensis* (77 p.), White-winged Black Tern *Chlidonias leucopterus* (4127 p.), Citrine Wagtail *Motacilla citreola* (30 p. outside the Biebrza Valley), and taxa whose abundance did not exceed 10 p.: Pied Avocet *Recurvirostra avosetta* (2 p.), Homeyer's Great Grey Shrike *Lanius excubitor homeyeri* (1 p.), Carrion Crow *Corvus corone* (4 p.) and Grey-headed Yellow Wagtail *M. flava thunbergi* (3 p.). There were no breeding records of Canada Goose *Branta canadensis*, Rose-ringed Parakeet *Psittacula krameri*, Short-eared Owl *Asio flammeus* and Greenish Warbler *Phylloscopus trochiloides*.

Key words: rare breeding bird species, distribution, numbers, trends, regions, Poland, report 2021

Niniejszy raport podsumowuje dane zgromadzone w ramach Kartoteki Rzadkich Ptaków (KRP) działającej przy Muzeum i Instytucie Zoologii Polskiej Akademii Nauk (Komisja Faunistyczna & Kartoteka Rzadkich Ptaków 2018). W roku 2021 raportowaniem objęto 32 taksony (30 gatunków i 2 podgatunki) rzadko gniazdujących ptaków w Polsce.

Material i metody

W przypadku 17 gatunków materiały do raportu pochodzą przede wszystkim z Monitoringu Ptaków Polski (MPP) realizowanego w ramach Państwowego Monitoringu Środowiska i prowadzonego przez Główny Inspektorat Ochrony Środowiska, dzięki finansowaniu Narodowego Funduszu Ochrony Środowiska i Gospodarki Wodnej (www.monitoringptakow.gios.gov.pl). Od początku funkcjonowania MPP działania te realizują Ogólnopolskie Towarzystwo Ochrony Ptaków oraz Muzeum i Instytut Zoologii PAN, we współpracy z innymi organizacjami (np. Chylarecki et al. 2018, Chodkiewicz et al. 2018, 2019, Wardecki et al. 2021). Materiały te uzupełniono danymi pochodzącymi: 1) z kartotek regionalnych – baza obserwacji Małopolskiego Towarzystwa Ornitologicznego dbPtak, Kartoteka Awifauny Lubelszczyzny, Kartoteka Awifauny Śląska, Kartoteka Mazowiecko-Świętokrzyskiego Towarzystwa Ornitologicznego (Matyjasik et al. 2022), Kartoteka Przyrodnicza Towarzystwa Badań i Ochrony Przyrody, Kartoteka Ornitologiczna Ziemi Łódzkiej, Pomorska Kartoteka Ornitologiczna, Warmińsko-Mazurska Kartoteka Ornitologiczna, Wielkopolska Kartoteka Ornitologiczna; 2) z portalu Ornitho.pl (www.ornitho.pl); 3) z projektu „Realizacja Krajowego Programu Ochrony Kulika Wielkiego” współfinansowanego ze środków Wojewódzkich Funduszy Ochrony Środowiska i Gospodarki Wodnej w Białymstoku i w Warszawie oraz Narodowego Funduszu Ochrony Środowiska i Gospodarki Wodnej, koordynowanego przez Polskie Towarzystwo Ochrony Ptaków, Towarzystwo Przyrodnicze „Bocian” oraz Regionalną Dyрекcję Ochrony Środowiska w Poznaniu; 4) ze Stowarzyszenia Na Rzecz Dzikich Zwierząt Sokół realizującego projekt „Restytucja sokoła wędrownego w Polsce” współfinansowanego ze środków UE (POIiŚ 2014–2020) oraz ze środków Wojewódzkiego Funduszu Ochrony Środowiska we Wrocławiu; 5) ze stron internetowych, np. www.clanga.com, Atlas Sów Polski Stowarzyszenia Ochrony Sów i stron regionów ornitologicznych; 6) z publikowanych lub niepublikowanych raportów o rzadkich ptakach dla poszczególnych obszarów; 7) z publikacji zawierających informacje o gatunkach rzadkich oraz 8) bezpośrednio od obserwatorów.

Dane zestawiono dla 14 regionów. Granice regionów wytyczono w oparciu o siatkę kwadratów 10 × 10 km w układzie współrzędnych 1992 (rys. 1). Układ ten jest aktualnie stosowany w regionalnych atlasach rozmieszczenia ptaków oraz podczas wyznaczania powierzchni w MPP. Podział na regiony przyjęty na potrzeby działania KRP nie oznacza, że we wszystkich przypadkach granice te pokrywają się ściśle z granicami poszczególnych regionów ornitologicznych. Zastosowanie jednolitego systemu pozycjonowania przestrzennego opartego na koordynatach geograficznych i kwadratach 10 × 10 km (lub

Tabela 1. Regiony, z których zbierane są informacje w Kartotece Rzadkich Ptaków oraz ich powierzchnia, liczba kwadratów i koordynatorzy

Table 1. Regions of data collection within the Rare Birds Panel (1) and their area (2), number of 10×10 km plots (3) and coordinators (4)

Region (1)	Powierzchnia [km ²] (2)	Liczba kwadratów 10 × 10 km (3)	Koordynatorzy (4)
Dolny Śląsk (DS)	24 709	274	Bartosz Smyk
Górny Śląsk (GS)	11 928	135	Szymon Beuch
Kujawy (KU)	12 417	124	Andrzej Dylík
Lubelszczyzna (LL)	21 269	227	Robert Cymbała
Małopolska (MP)	20 075	214	Stanisław Czyż
Mazowsze (MZ)	39 995	404	Łukasz Matyjasiak
Podlasie (PL)	18 672	207	Łukasz Krajewski
Podkarpacie (PK)	18 018	198	Wojciech Guzik
Pomorze (PM)	46 159	507	Zbigniew Kajzer
Warmia i Mazury (WM)	23 583	247	Krzysztof Jankowski
Wielkopolska (WP)	35 836	358	Przemysław Wylegała
Ziemia Lubuska (ZL)	11 484	124	Paweł Czechowski
Ziemia Łódzka (LD)	14 520	145	Marcin Wężyk
Ziemia Świętokrzyska (SW)	14 014	140	Piotr Dębowski
Polska	312 679	3 304	Szymon Beuch, Tomasz Chodkiewicz, Łukasz Ławicki, Arkadiusz Sikora, Przemysław Wylegała



Rys. 1. Podział Polski na regiony, do których przypisane są wyniki zebrane w ramach działań Kartoteki Rzadkich Ptaków. Skróty nazw regionów objaśniono w tabeli 1

Fig. 1. The division of Poland into regions of data collection within the Rare Birds Panel (KRP). Abbreviations of region names are explained in Table 1

ich części, np. w siatce 1 × 1 km) umożliwia wykorzystanie danych do prezentowania informacji o ptakach niezależnie od zmieniających się podziałów administracyjnych, czy nie zawsze bezspornie ustalonych granic regionów ornitologicznych. Łączny obszar kraju, dla którego rejestrowano dane o ptakach lęgowych, wynosi 312 679 km² (wliczono tu morskie wody wewnętrzne obejmujące zalewy przymorskie).

Zakres prezentowanych wyników

W raporcie omówiono gatunki o liczebności populacji krajowej do 300 par oraz sześć o bardziej licznych populacjach, jednak występujących na niewielkim obszarze, tj. dubelta *Gallinago media*, rycyka *Limosa limosa*, rybitwę białoskrzydłą *Chlidonias leucopterus*, ślepowrona *Nycticorax nycticorax*, czapłę białą *Ardea alba* i wodniczkę *Acrocephalus paludicola* (Chodkiewicz et al. 2019). Pominięto tu kilkanaście gatunków wyjątkowo gniazdujących w kraju, których lęgi podlegają weryfikacji przez Komisję Faunistyczną (www.komisjafaunistyczna.pl) oraz kilka gatunków skrajnie nielicznie lęgowych, np. głuszca *Tetrao urogallus*, cietrzewia *Lyrurus tetrix* i puchacza *Bubo bubo* (Chodkiewicz et al. 2019). Te ostatnie nie zostały uwzględnione w KRP z uwagi na niekompletność danych w skali kraju, np. z powodu trudności metodycznych w corocznej ocenie liczebności populacji lęgowej. Wyjątkami są tu drożdżik *Turdus iliacus*, dla którego dane są niekompletne, ale jednocześnie populacja silnie spada i wymaga on specjalnej uwagi (Wilk et al. 2020), oraz pliszka cytrynowa *Motacilla citreola*, dla której gromadzone są dane poza główną ostoją gatunku na Bagnach Biebrzańskich (Krajewski 2016, Stawarczyk et al. 2017). W roku 2021 w ramach KRP po raz pierwszy zestawiono dane o występowaniu rycyka i rybitwy białoskrzydłej.

Wśród omówionych taksonów 30 pojawia się w kraju naturalnie a 2 gatunki, pochodzące z dawnych introdukcji, uważane są obecnie za gatunki wtórnie naturalne (Stawarczyk et al. 2017, www.komisjafaunistyczna.pl), tj. gęsiówka egipska *Alopochen aegyptiaca* i mandarynka *Aix galericulata*.

W roku 2021 nie odnotowano lęgów bernikli kanadyjskiej *Branta canadensis*, aleksandretty obrożnej *Psittacula krameri* oraz wójcika *Phylloscopus trochiloides*, stąd nie wymieniono ich w przeglądzie gatunków. Nie stwierdzono wprawdzie również pewnego gniazdowania uszatki błotnej *Asio flammeus*, jednak trafiła ona do przeglądu gatunków ze względu na obecność osobnika możliwie lęgowego w roku 2021 oraz w celu uzupełnienia danych o jej liczebności w poprzednim roku sprawozdawczym (Chodkiewicz et al. 2022).

Liczebność

Dla każdego z gatunków podano łączną liczbę par/samców/terytoriów stwierdzonych w danym roku na podstawie określonych kategorii gniazdowania dla poszczególnych gatunków (tab. 2). Specyficzne kryteria stosowane w MPP opisano w instrukcjach dostępnych na stronie internetowej tego programu (www.monitoringptakow.gios.gov.pl). Natomiast dla pozostałych gatunków uwzględniono kryteria lęgowości zawarte w instrukcji przygotowanej na potrzeby portalu ornitho.pl (Wilk 2016). Liczebność osiadłych populacji mandarynki w Warszawie i Pruszkowie oceniono w oparciu o wyniki liczeń ptaków na początku sezonu lęgowego, uwzględniając stwierdzenia obejmujące kategorie gniazdowania pewnego i prawdopodobnego (F. Hayatli, Ł. Wardecki). Szczegóły dotyczące metody oszacowania liczebności wodniczki znajdują się w raporcie z roku 2018 (Sikora

Tabela 2. Kategorie lęgowości wykorzystane do określenia liczebności raportowanych gatunków: A – gniazdowanie możliwe, B – gniazdowanie prawdopodobne, C – gniazdowanie pewne. * – B i C dla populacji w Warszawie i Pruszkowie, C – dla pozostałych stanowisk; ** – stwierdzenia gniazdowania prawdopodobnego (PR i TE) odnotowane w okresie czerwiec–lipiec. Klasyfikacja kryteriów lęgowości za Sikora et al. 2007

Table 2. Breeding categories used to determine the population size of the reported species: A – breeding possible, B – breeding probable, C – breeding confirmed. (1) – species, (2) – breeding category. * – B and C for the population in Warsaw and Pruszków, C – for the other sites, ** – probable breeding (PR and TE) recorded in June–July

Gatunek (1)	Kategorie lęgowości (2)
Łabędź krzykliwy <i>Cygnus cygnus</i>	B, C
Bernikla kanadyjska <i>Branta canadensis</i>	C
Gęsiówka egipska <i>Alopochen aegyptiaca</i>	C
Ohar <i>Tadorna tadorna</i>	B, C
Hełmiatka <i>Netta rufina</i>	B, C
Podgorzałka <i>Aythya nyroca</i>	B, C
Mandarynka <i>Aix galericulata</i>	B, C*
Ostrygojad <i>Haematopus ostralegus</i>	B, C
Szczudłak <i>Himantopus himantopus</i>	BU, C
Szablodziób <i>Recurvirostra avosetta</i>	BU, C
Kulik wielki <i>Numenius arquata</i>	B, C
Rycyk <i>Limosa limosa</i>	B, C
Dubelt <i>Gallinago media</i>	A, B, C
Sieweczka obroźna <i>Charadrius hiaticula</i>	B, C
Mewa czarnogłowa <i>Ichthyaetus melanocephalus</i>	C
Rybitwa czubata <i>Thalasseus sandvicensis</i>	C
Rybitwa białoskrzydła <i>Chlidonias leucopterus</i>	C
Ślepowron <i>Nycticorax nycticorax</i>	C
Czapla biała <i>Ardea alba</i>	B, C
Rybołów <i>Pandion haliaetus</i>	B, C
Gadożer <i>Circaetus gallicus</i>	B, C
Orlik grubodzioby <i>Clanga clanga</i>	B, C
Orzeł przedni <i>Aquila chrysaetos</i>	B, C
Uszatka błotna <i>Asio flammeus</i>	B, C
Puszczyk mszarny <i>Strix nebulosa</i>	A, B, C
Kraska <i>Coracias garrulus</i>	B, C
Sokół wędrowny <i>Falco peregrinus</i>	B, C
Aleksandretta obroźna <i>Psittacula krameri</i>	C
„Srokosz stepowy” <i>Lanius excubitor homeyeri</i>	B, C
Czarnowron <i>Corvus corone</i>	B, C
Wodniczka <i>Acrocephalus paludicola</i>	A, B, C
Wójcik <i>Phylloscopus trochiloides</i>	NP, BU i C
Pomurnik <i>Tichodroma muraria</i>	A, B, C
Drożdżik <i>Turdus iliacus</i>	B, C
„Pliszka tundrowa” <i>Motacilla flava thunbergi</i>	B, C
Pliszka cytrynowa <i>Motacilla citreola</i>	PR, TE**, NP, BU i C

et al. 2020). Na mapach zaprezentowano sumy par/samców/terytoriów odnotowane w analizowanym roku w obrębie kwadratów 10×10 km.

Rozpowszechnienie

Parametr ten jest miarą wielkości zajmowanego areалу lęgowego i został wyrażony jako procent powierzchni 10×10 km, na których wykazano gatunek jako lęgowy wśród 3 304 powierzchni w całym kraju lub w odniesieniu do liczby kwadratów w poszczególnych regionach.

Trendy liczebności

Wieloletnie trendy liczebności podano na podstawie wyników z raportów MPP i publikowanych danych (np. Stawarczyk et al. 2017, Chylarecki et al. 2018, Chodkiewicz et al. 2019, MPP 2021).

Kompletność danych

Uzyskanie kompletnych danych w skali kraju dla wszystkich rzadkich lęgowych taksonów nie jest możliwe. W niniejszym opracowaniu zastosowano 4-stopniową klasyfikację kompletności danych (tab. 3). Punktem odniesienia jest najnowsza ocena liczebności populacji lęgowych w okresie 2013–2018 (Chodkiewicz et al. 2019) w odniesieniu do stopnia zbadania potencjalnych siedlisk gniazdowania poszczególnych gatunków. Podanie tej informacji ułatwia zorientowanie się co do kompletności danych w roku sprawozdawczym i jednocześnie jest istotne do właściwej interpretacji wyników w kolejnych sezonach.

Tabela 3. Ocena kompletności danych dla gatunków lęgowych rejestrowanych w Kartotece Rzadkich Ptaków

Table 3. Assessment of the completeness of data for the breeding species registered in the Rare Birds Panel. (1) – completeness category, (2) – description, (3) – completeness of country coverage by data, (4) – very high, (5) – high, (6) – moderate, (7) – low

Kategoria kompletności (1)	Opis (2)	Kompletność pokrycia kraju danymi [%] (3)
Bardzo wysoka (4)	Dane pełne lub niemal pełne w skali kraju	91–100
Wysoka (5)	Wyniki w małej części niekompletne, dla części stanowisk lęgowych brak danych	71–90
Średnia (6)	Pobieżne rozpoznanie, brakuje danych z szeregu ważnych lęgowisk	51–70
Niska (7)	Brak danych z ponad połowy lęgowisk krajowych; niejednokrotnie liczebność z raportowanych miejsc niekompletna	do 50

Przegląd gatunków

Łabędź krzykliwy *Cygnus cygnus*

Liczebność: 308 p.

Trend: wzrost (2007–2021)

Kompletność: bardzo wysoka

Lęgowy we wszystkich regionach kraju z łączną liczebnością 308 p. na 187 powierzchniach. Najliczniej występował na Warmii i Mazurach oraz Pomorzu, gdzie stwierdzono 52% wszystkich par, a w kolejnych 4 regionach – Dolnym Śląsku, Podlasiu, Mazowszu i w Wielkopolsce – łącznie 33%. W pozostałych 8 regionach występowało od 1 do 11 p., w tym najliczniej w Małopolsce i na Ziemi Świętokrzyskiej, a najmniej lęgowych par odnotowano na Ziemi Łódzkiej i Podkarpaciu. Znaczące koncentracje gatunku skupiające co najmniej 2% populacji krajowej obejmowały OSO, w tym: Ostoję Warmińską z 45 p., w tym 35 p. w OSO i 10 p. na stanowiskach oddalonych do kilku kilometrów od OSO (Sikora et al. 2021, A. Sikora, P. Radek), Dolinę Baryczy oraz stanowiska na pobliskich stawach poza OSO – 41 p. (Lenkiewicz et al. 2021), Puszcę Napiwodzko-Ramucką – 13 p. (A. Sikora, B. Brewka i in.), Ostoję Ińską – 11 p. (Z. Kajzer, M. Sołowiej, K. Pytek), Lasy Hławskie – 7 p. (M. Rodziewicz), Dolinę Słupi – 6 p. (M. i U. Bagiński, M. Ziółkowski i in.) i Puszcę Knyszyńską – 6 p. (G. Grygoruk). Poza terenami OSO istotne skupienie 10 p. stwierdzono w IBA Niecka Włoszczowska w zachodniej części Ziemi Świętokrzyskiej (K. Dudzik i in.) oraz 9 p. w Parku Krajobrazowym Lasy nad Górną Liswartą w regionie małopolskim (S. Czyż). Od kilkudziesięciu lat trwa ekspansja gatunku w Polsce (Tomia-

Fot. 1. Łabędź krzykliwy *Cygnus cygnus*, Tolko, Warmia i Mazury, 9.08.2021 (fot. A. Sikora) – *Whooper Swan, Tolko, August 2021*



Łojć & Stawarczyk 2003, Sikora et al. 2012, 2022a). Sezon 2021 był pod tym względem wyjątkowy i liczebność gatunku wzrosła aż o 36%, a zasięg o 15% w stosunku do roku poprzedniego. Największy wzrost liczebności wykazano na Górnym Śląsku, Warmii i Mazurach, Dolnym Śląsku i Ziemi Świętokrzyskiej. W przypadku zmian areалу w porównaniu z rokiem 2020 najsilniejszy wzrost nastąpił na Górnym Śląsku, Lubelszczyźnie, Ziemi Łódzkiej, Mazowszu i Ziemi Świętokrzyskiej. W roku 2021 w ramach Monitoringu Łabędzia Krzykliwego stwierdzono 284 p. Dane o kolejnych 24 p. z tego sezonu pochodzą m.in. z ornitho.pl i z kartotek regionalnych. Liczebność populacji krajowej łabędzia krzykliwego w roku 2021 oceniono na 290–330 p. (Sikora et al. 2022a), natomiast po uwzględnieniu nowych danych skorygowano ją na 310–330 p.

Tabela 4. Liczba par, zajętych powierzchni 10×10 km i rozpowszechnienie łabędzia krzykliwego *Cygnus cygnus* w regionach ornitologicznych Polski w roku 2021

Table 4. Number of pairs (1), occupied 10×10 km squares (2) and occupancy (3) of the Whooper Swan in ornithological regions in Poland in 2021

	DS	GS	KU	LD	LL	MP	MZ	PK	PL	PM	SW	WM	WP	ZL	Razem (4)
N par (1)	53	5	7	2	4	11	13	1	18	72	10	90	16	6	308
N pow (2)	24	4	6	2	4	7	12	1	15	50	7	42	9	4	187
Rozp (%) (3)	8,8	3,0	4,8	1,4	1,8	3,3	3,0	0,5	7,2	9,9	5,0	17,0	2,5	3,2	5,7

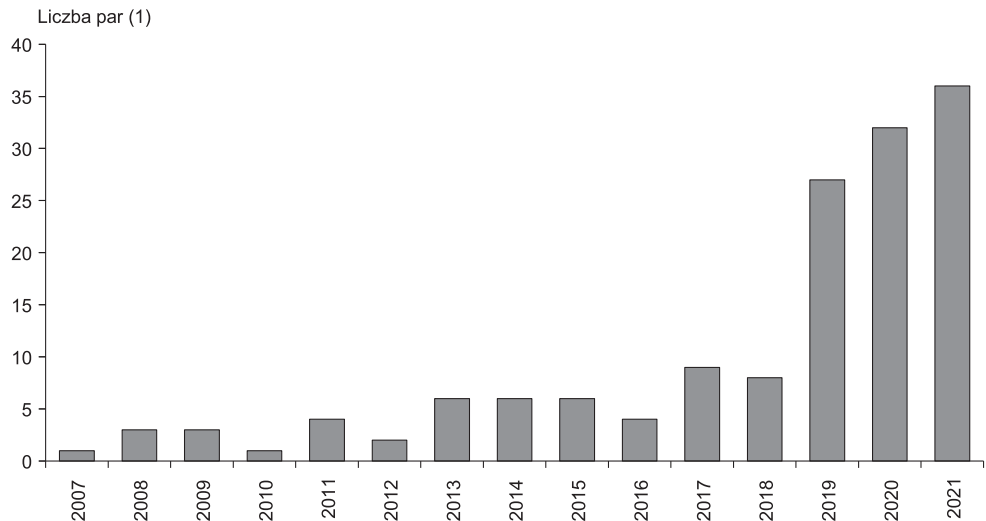
Gęsiówka egipska *Alopochen aegyptiaca*

Liczebność: 36 p.

Trend: wzrost (2007–2021)

Kompletność: wysoka

Stwierdzono 36 p. na 32 stanowiskach. Gniazdowanie odnotowano w 5 regionach, w tym 14 p. na Dolnym Śląsku, 8 p. w Wielkopolsce, 6 p. w Małopolsce, 5 p. na Górnym Śląsku i 3 p. na Pomorzu (tab. 5). Prawie na wszystkich stanowiskach gniazdowały



Rys. 2. Zmiany liczebności populacji lęgowej gęsiówki egipskiej *Alopochen aegyptiaca* w Polsce w latach 2007–2021 (Stawarczyk et al. 2017, Komisja Faunistyczna 2017, 2018, 2019, Ławicki et al. 2021, Chodkiewicz et al. 2022, niniejsze dane)

Fig. 2. Changes in number of breeding pairs of the Egyptian Goose in Poland in 2007–2021. (1) – number of pairs

pojedyncze pary, jedynie na Stawach Podgórzyńskich na Dolnym Śląsku stwierdzono 4 p. (I. Danielecka i in.) i w żwirowni w Chlewicach na Pomorzu 2 p. (Ł. Ławicki). Na 26 stanowiskach (81%) stwierdzono pary z młodymi. W roku 2021 odnotowano najwyższą liczebność gęsiówki egipskiej w kraju (Ławicki et al. 2021, Chodkiewicz et al. 2022). Od pierwszego lęgu tego gatunku w Polsce w roku 2007 na Górnym Śląsku (Rojek & Stajszczyk 2008) trwa stały wzrost populacji lęgowej (rys. 2).

Tabela 5. Liczba par, zajętych powierzchni 10×10 km i rozpowszechnienie gęsiówki egipskiej *Alopochen aegyptiaca* w regionach ornitologicznych Polski w roku 2021

Table 5. Number of pairs (1), occupied 10×10 km squares (2) and occupancy (3) of the Egyptian Goose in ornithological regions in Poland in 2021. (4) – total

	DS	CS	KU	LD	LL	MP	MZ	PK	PL	PM	SW	WM	WP	ZL	Razem (4)
N par (1)	14	5				6				3			8		36
N pow (2)	9	4				6				2			6		27
Rozp (%) (3)	3,3	3,0				2,8				0,4			1,7		0,8

Ohar *Tadorna tadorna*

Liczebność: 118 p.	Trend: nieznan	Kompletność: bardzo wysoka
--------------------	----------------	----------------------------

Stwierdzono 118 p. na 41 powierzchniach w 5 regionach (MPP 2021) (tab. 6). Niemal połowa populacji zasiedlała Dolinę Dolnej Odry wraz z Ujściem Warty i Zalewem Szczecińskim – 57 p. Najliczniej zasiedlonymi stanowiskami na tym obszarze była OSO Delta Świny, gdzie stwierdzono 15 p. oraz tzw. refulat w Świnoujściu – 7 p. (Z. Kajzer). Drugim najważniejszym lęgowskim był OSO Dolina Środkowej Wisły między Zakroczyrzem a Ciechocinkiem z 27 p. (23% populacji krajowej) (A. Różycki, R. Tusiński i in.). Nad Zatoką Gdańską gniazdowało łącznie 18 p., w tym połowa wzdłuż Płw. Helskiego (A. Sikora, M. i J. Koss), a pozostałe w OSO Ujście Wisły – 5 par (S. Bzoma) i w okolicy rez. Beka – 4 p. (M. Ściborski). Na jeziorach przymorskich Gardno i Łebsko stwierdzono łącznie 8 p. (G. i M. Jędro, Ma. Goc). Trzy pary obserwowano ponadto na Zalewie Wiślanym – 2 p. w okolicach Nowej Pastki (A. Sikora) i 1 p. z pisklętami na terenie przepokupu Mierzei Wiślanej (S. Bzoma, A. Janczyszyn). Pozostałe 5 p. stwierdzono na zb. Jezioro na Ziemi Łódzkiej (T. Janiszewski). Łączna liczebność ohara w Polsce w roku 2021 była bardzo zbliżona do tej z 2020 roku, kiedy wykazano 115 p. (Chodkiewicz et al. 2022). W porównaniu do poprzedniego sezonu wystąpiły jednak duże różnice regionalne w liczebnościach poszczególnych populacji. Aż o 26% wzrosła liczebność w Dolinie Dolnej Odry wraz z Zalewem Szczecińskim, a dwukrotnie więcej par stwierdzono na jeziorach Gardno i Łebsko. Natomiast o 32% zmniejszyła się liczebność populacji znad Wisły (Chodkiewicz et al. 2022). Populacje z Zatoki Gdańskiej wraz z Zalewem Wiślanym oraz ze zb. Jezioro pozostały na tym samym poziomie (odpowiednio 20 i 5 p.). Liczebność

Tabela 6. Liczba par, zajętych powierzchni 10×10 km i rozpowszechnienie ohara *Tadorna tadorna* w regionach ornitologicznych Polski w roku 2021

Table 6. Number of breeding pairs (1), occupied 10×10 km squares (2) and occupancy (3) of the Common Shelduck in ornithological regions in Poland in 2021. (4) – total

	DS	CS	KU	LD	LL	MP	MZ	PK	PL	PM	SW	WM	WP	ZL	Razem (4)
N par (1)			6	5			21			83			3		118
N pow (2)			5	3			5			27			1		41
Rozp (%) (3)			4,0	2,1			1,2			5,1			0,8		1,2

ohara w roku 2021 wpisuje się w ocenę jego populacji krajowej w ostatnim trzydziestolecu na poziomie 110–150 p. (Tomiałojć & Stawarczyk 2003, Sikora et al. 2007, Chodkiewicz et al. 2019).

Hełmiatka *Netta rufina*

Liczebność: 44 p.	Trend: wzrost (2013–2021)	Kompletność: wysoka
-------------------	---------------------------	---------------------

Gniazdowała w liczbie 44 p. na 14 powierzchniach (tab. 7). Najliczniej zasiedlonym regionem był tradycyjnie Górny Śląsk, gdzie stwierdzono łącznie 36 p., z których większość odnotowano na stawach i żwirowniach w dolinie górnej Odry. W kompleksach Łęczok i Wielikąt wykazano odpowiednio 14 i 15 p. (S. Beuch i in.), a na polderze Buków i żwirowni Roszków – po 1 p. (S. Beuch, Z. Wnuk). Pozostałe górnośląskie stanowiska to dwa kompleksy stawowe w dolinie górnej Wisły – stawy Dębowiec skupiające 2 p. (J. Gil, K. Liersz-Żelasko) oraz stawy Ochaby Wielkie – 3 p. (J. Gil, M. Karpeta). Poza tym w kraju gniazdowało 8 p. w 4 innych regionach. Na Mazurach obserwowano po 1 p. na Jez. Ryńskim (A. Włodarczyk-Komosińska, M. Rowicki) i jez. Kirsajty (B. Beyer, W. Kruk). W małopolskiej części doliny górnej Wisły stwierdzono 3 pojedyncze pary z pisklętami w kompleksach stawów: Zaborze (M. Ledwoń), Spytkowice (J. Bettleja i in.) i Stawy Monowskie (Ł. Iłczok, M. Dyduch, S. Sendera). W dolinie Baryczy na Dolnym Śląsku obserwowano 1 p. na stawie Rudym (W. Lenkiewicz i in.). Na Ziemi Świętokrzyskiej 1 p. przebywała na stawach w Górkach (M. Kica i in.), a w maju stwierdzono ponadto parę na stawach w Młodzawach Dużych (M. Piątkowski, B. Czerwiński). Liczebność par lęgowych hełmiatki w latach 2019–2021 na Górnym Śląsku zmniejszała się z roku na rok (kolejno 44, 39 i 36), natomiast poza tym regionem stwierdzano niezmiennie 8 p. (Ławicki et al. 2021, Chodkiewicz et al. 2022). Łączna liczebność gatunku w kraju utrzymuje się w górnych granicach oceny dla lat 2013–2018 określających ją na 15–48 p. (Chodkiewicz et al. 2019). Niewykluczone, że część krajowej populacji, np. ta z jezior mazurskich, pozostaje niedoszacowana.

Tabela 7. Liczba par, zajętych powierzchni 10 × 10 km i rozpowszechnienie hełmiatki *Netta rufina* w regionach ornitologicznych Polski w roku 2021

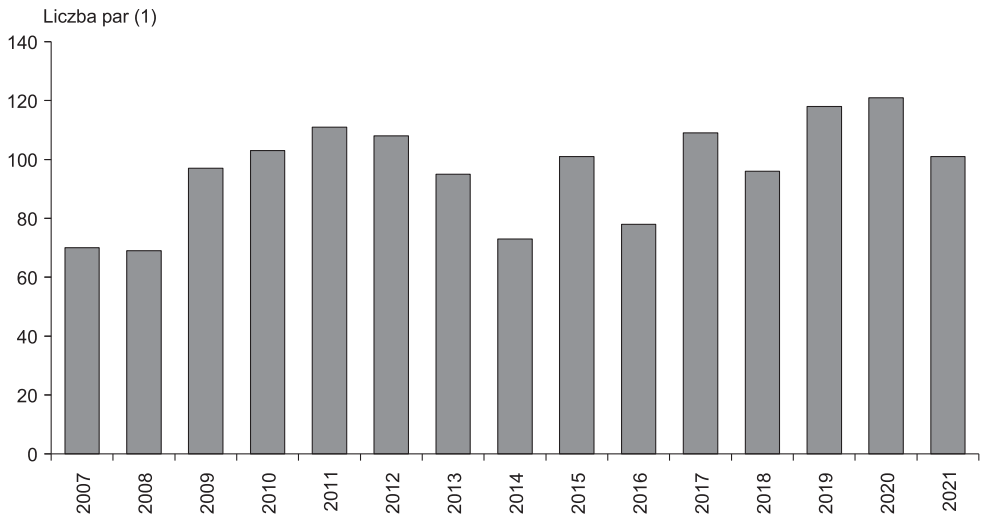
Table 7. Number of breeding pairs (1), occupied 10 × 10 km squares (2) and occupancy (3) of the Red-crested Pochard in ornithological regions in Poland in 2021. (4) – total

	DS	GS	KU	LD	LL	MP	MZ	PK	PL	PM	SW	WM	WP	ZL	Razem (4)
N par (1)	1	36				3					2	2			44
N pow (2)	1	6				3					2	2			14
Rozp (%) (3)	0,4	4,4				1,4					1,4	0,8			0,5

Podgorzałka *Aythya nyroca*

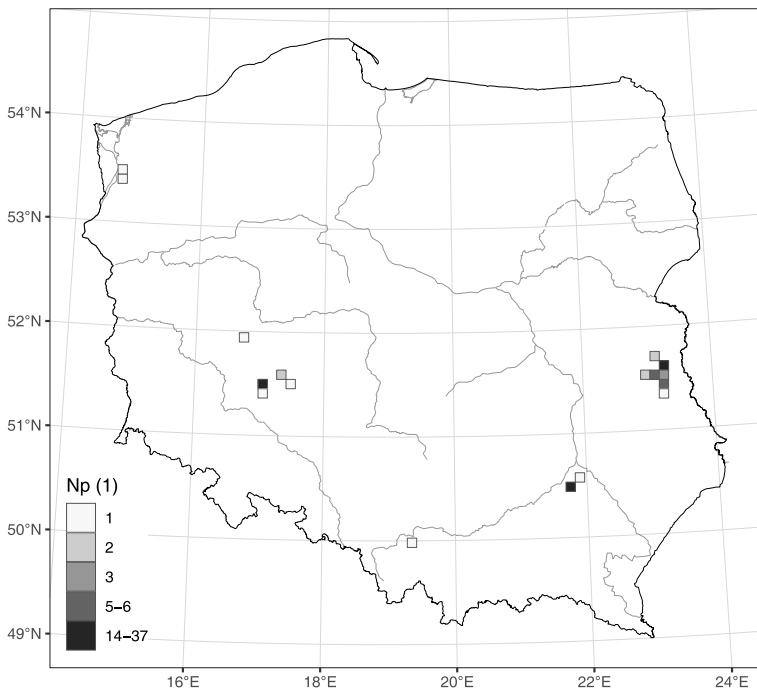
Liczebność: 102 p.	Trend: stabilny (2007–2021)	Kompletność: bardzo wysoka
--------------------	-----------------------------	----------------------------

W roku 2021 liczebność podgorzałki oceniono na 102 p. w 6 regionach (tab. 8, rys. 4). Łącznie gatunek stwierdzono na 30 stanowiskach, w tym po 12 na Dolnym Śląsku i Lubelszczyźnie. Najliczniej występowała na stawach w Budzie Stalowskiej (37 p., 36% populacji krajowej) i na Lubelszczyźnie (34 p., 33%), w tym po 7 p. na stawach w Mostach i Zahajkach (Ł. Bednarz). W Dolinie Baryczy stwierdzono 26 p. (29% łącznej liczebności w kraju), w tym 5 p. w kompleksie Niezgodą na stawie Niezgodą I oraz po 4 p. w kompleksie Ruda Sułowska na stawie Mewi Duży i w kompleksie Radziądz na stawie Rudy



Rys. 3. Zmiany liczebności populacji lęgowej podgorzałki *Aythya nyroca* w Polsce w latach 2007–2021 (Sikora et al. 2022)

Fig. 3. Changes in number of breeding pairs of the Ferruginous Duck in Poland in 2007–2021. (1) – number of pairs



Rys. 4. Rozmieszczenie stanowisk lęgowych podgorzałki *Aythya nyroca* w Polsce w roku 2021

Fig. 4. Distribution of the Ferruginous Duck breeding sites in Poland in 2021. (1) – number of breeding pairs in each 10 × 10 km square



Fot. 2. Podgorzałka *Aythya nyroca*, Jez. Wytyckie, Lubelszczyzna, 26.04.2021 (fot. S. Turowski) – *Ferruginous Duck*, *Wytyckie Lake*, *Lublin region*, *April 2021*

(W. Lenkiewicz). Na innych łęgowskich krajowych odnotowano łącznie 5 p. – po jednej na zb. Wonieść (J. Stępniewski), na stawach Przeręb w Małopolsce (D. Wiehle), na stawach w Grębowie k. Tarnobrzega (J. Grzybek) oraz 2 p. na jez. Dąbie w Dolinie Dolnej Odry (Ł. Borek, Z. Kajzer, D. Marchowski). W porównaniu do roku poprzedniego łączna liczebność podgorzałki w Polsce zmniejszyła się o 19 p. Najwyraźniejszy spadek z 53 do 37 p. nastąpił na stawach w Budzie Stalowskiej (J. Grzybek) oraz w Dolinie Baryczy z 35 do 26 p. (W. Lenkiewicz, B. Orłowska), natomiast na Lubelszczyźnie wykazano wzrost z 26 do 34 p. (Ł. Bednorz, M. Urban). W roku 2021 liczebność podgorzałki była na stosunkowo wysokim poziomie. W perspektywie ostatnich kilkunastu lat trendy liczebności i areалу populacji krajowej podgorzałki są stabilne. W roku 2022 w Monitoringu Podgorzałki skorygowano liczbę par i zajętych kwadratów dla całego okresu trwania programu (Sikora et al. 2022b). Korekta ta wynika z uzasadnionych zastrzeżeń odnośnie możliwości powtórnego policzenia tych samych ptaków, które mogą przenosić się pomiędzy sąsiednimi akwenami, co w szczególności dotyczy rozległych kompleksów stawów rybnych. Zasadnicze wyniki pochodzą z pierwszego liczenia i uzupełniono je wynikami z drugiego

Tabela 8. Liczba par, zajętych powierzchni 10×10 km i rozpowszechnienie podgorzałki *Aythya nyroca* w regionach ornitologicznych Polski w roku 2021

Table 8. Number of pairs (1), occupied 10×10 km squares (2) and occupancy (3) of the Ferruginous Duck in ornithological regions in Poland in 2021. (4) – total

	DS	GS	KU	LD	LL	MP	MZ	PK	PL	PM	SW	WM	WP	ZL	Razem (4)
N par (1)	26				34	1		38		2			1		102
N pow (2)	4				8	1		2		2			1		18
Rozp (%) (3)	1,5				3,5	0,5		1,0		0,4			0,3		0,5

liczenia wyłącznie w sytuacji potwierdzenia gniazdowania podgorzałki lub obecności zaniepokojonych ptaków dorosłych. Po tej rewizji liczebność gatunku w latach 2007–2021 zmieniała się w zakresie od 69 do 121 p. (rys. 3).

Mandarynka *Aix galericulata*

Liczebność: 88 p.	Trend: wzrost (2001–2021)	Kompletność: wysoka
-------------------	---------------------------	---------------------

Lęgową populację krajową oceniono na 88 p. Większość zasiedlała Warszawę, gdzie jej łączną liczebność oceniono na maksymalnie 82 p., w tym wykryto 38 samic z młodymi i 42 lęgi (3 samice wyprowadziły lęg powtarzany po stracie piskląt na wczesnym etapie wodzenia oraz znaleziono jedno samotne pisklę w innym wieku niż pozostałe w okolicy) (F. Hayatli, Ł. Wardecki). Blisko połowa tej populacji zasiedlała Park Łazienki Królewskie, a pozostałe stanowiska zlokalizowane były głównie w innych parkach (Skaryszewski, Promenada, Wilanowski, Szczęśliwicki, Kępa Potocka, Arkadia, Sielecki) i w Porcie Czerniakowskim oraz nad Wisłą. Ponadto 4 p. stwierdzono w Pruszkowie, gdzie gniazdowanie pewne wykazano w przypadku 3 p. – w Parku Potulickich i na rzece Utracie w pobliżu parku (Ł. Wardecki). Poza aglomeracją warszawską pewne gniazdowanie pojedynczych par mandarynki stwierdzono w Radzynie Podlaskim na Lubelszczyźnie (M. Karwowski) oraz w Nysie na Dolnym Śląsku (D. Siwy). Pierwszy lęg gatunku miał miejsce w roku 2001 w Warszawie, gdzie jej liczebność wzrastała dynamicznie w kolejnych latach i obecnie miasto to skupia trzon krajowej populacji (Stawarczyk et al. 2017). Poza stolicą co roku dochodzi do lęgów pojedynczych par, najczęściej na Śląsku, ale gatunek ten nie stworzył nadal innych większych i stabilnych populacji. W latach 2019–2021 populacja lęgowa mandarynki w Polsce liczyła 87–96 par gniazdujących w 3–5 regionach (Ławicki et al. 2021, Chodkiewicz et al. 2022, niniejsza praca).

Tabela 9. Liczba par, zajętych powierzchni 10 × 10 km i rozpowszechnienie mandarynki *Aix galericulata* w regionach ornitologicznych Polski w roku 2021

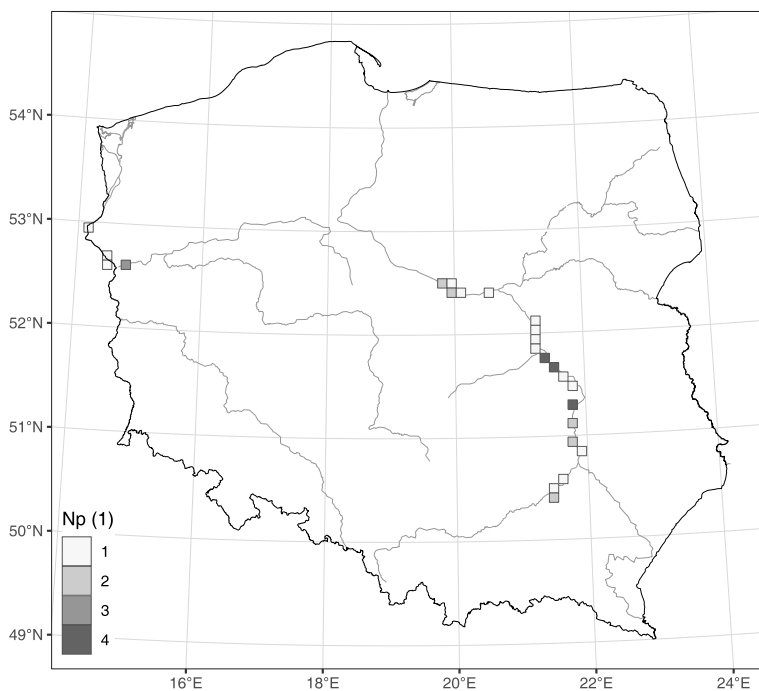
Table 9. Number of breeding pairs (1), occupied 10 × 10 km squares (2) and occupancy (3) of the Mandarin Duck in ornithological regions in Poland in 2021. (4) – total

	DS	GS	KU	LD	LL	MP	MZ	PK	PL	PM	SW	WM	WP	ZL	Razem (4)
N par (1)	1				1		86								88
N pow (2)	1				1		6								8
Rozp (%) (3)	0,4				0,4		1,5								0,2

Ostrygojad *Haematopus ostralegus*

Liczebność: 40 p.	Trend: wzrost (2018–2021)	Kompletność: bardzo wysoka
-------------------	---------------------------	----------------------------

Zebrano dane o gniazdowaniu 40 par na 24 powierzchniach w 6 regionach (tab. 10, rys. 5). Najważniejszym lęgowiskiem pozostał OSO Dolina Środkowej Wisły, gdzie stwierdzono łącznie 34 p. (Ł. Bednarz, D. Bukaciński, T. Chodkiewicz, A. Różycki i in.). Ptaki występowały tu na odcinku od Połańca na Ziemi Świętokrzyskiej do okolic Płocka (rys. 5). Pozostałe 6 p. stwierdzono na zachodzie kraju – 3 p. w żwirowniach w OSO Dolina Dolnej Odry (Ł. Ławicki) i 3 p. w PN Ujście Warty (M. Wołowik, P. Baranowski, K. Wypychowski). W roku 2021 po raz kolejny nie potwierdzono gniazdowania ostrygojada na wybrzeżu Bałtyku. W latach 2018–2021 jego liczebność w kraju wzrosła aż o 43%. W latach 2018–2019 stwierdzono 26–28 p., w roku 2020 – 36 p., a w roku 2021 – 40 p. (Sikora et al. 2020, Ławicki et al. 2021, Chodkiewicz et al. 2022).



Rys. 5. Rozmieszczenie stanowisk lęgowych ostrygojada *Haematopus ostralegus* w Polsce w roku 2021
Fig. 5. Distribution of the Eurasian Oystercatcher breeding sites in Poland in 2021. (1) – number of breeding pairs in each 10 × 10 km square

Fot. 3. Ostrygojad *Haematopus ostralegus*, Maciejowice, Dolina Środkowej Wisły, 12.07.2021 (fot. Ł. Bednarz) – Eurasian Oystercatcher, Maciejowice, Vistula valley, July 2021



Tabela 10. Liczba par, zajętych powierzchni 10×10 km i rozpowszechnienie ostrygojada *Haematopus ostralegus* w regionach ornitologicznych Polski w roku 2021

Table 10. Number of pairs (1), occupied 10×10 km squares (2) and occupancy (3) of the Eurasian Oystercatcher in ornithological regions in Poland in 2021. (4) – total

	DS	GS	KU	LD	LL	MP	MZ	PK	PL	PM	SW	WM	WP	ZL	Razem (4)
N par (1)					3		25	3		3	3			3	40
N pow (2)					2		14	2		3	2			1	24
Rozp (%) (3)					0,9		6,2	1,0		0,6	1,4			0,8	0,7

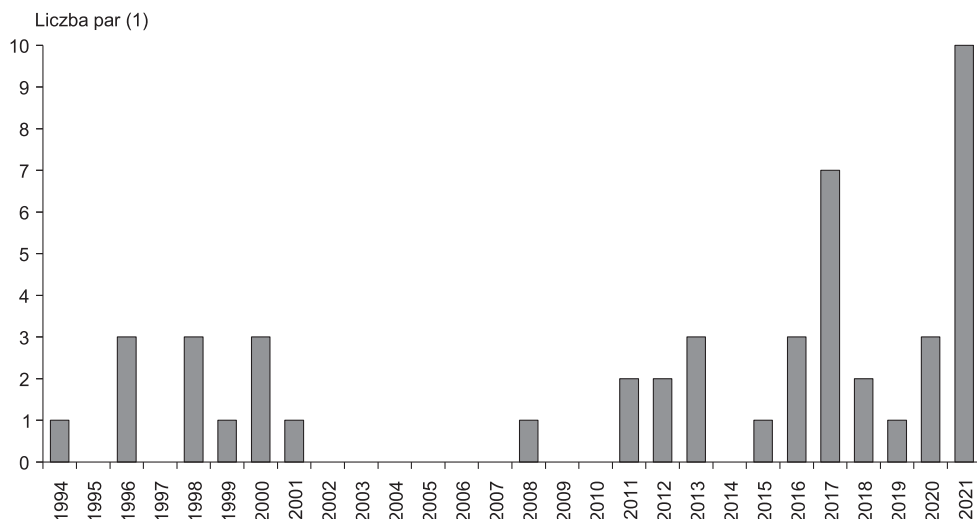
Szczudłak *Himantopus himantopus*

Liczebność: 10 p.

Trend: fluktuacje (2000–2021)

Kompletność: wysoka

Stwierdzono 10 p. na 6 stanowiskach (tab. 11). Na Lubelszczyźnie odnotowano 4 p. na 2 stanowiskach. Na osadnikach Zakładów Azotowych w Puławach gniazdowały 3 p. Pierwszej parze wykluły się 4 pisklęta, drugiej parze – 2 pisklęta, które zginęły w ciągu kilkunastu dni po wykluciu, a kolejna para utraciła lęg przed wykluciem młodych. W sumie do lotności przeżyły 4 młode (J. Stalenga i in.). Na drugim lubelskim stanowisku stwierdzono 1 p. z 3 młodymi na stawach w Stoczku (J. Mydlak i in.). Na Podkarpaciu gniazdowanie odnotowano na osadnikach w Ostrowie, gdzie 3 p. miały po 3 pisklęta, z czego do lotności dożyło 8 młodych (Podkarpacka Grupa OTOP). Na Ziemi Łódzkiej 1 p. z 3 młodymi gniazdowała na zb. Jeziorsko (T. Musiał i in.). Na Ziemi Świętokrzyskiej odwodząca i zaniepokojona para przebywała w okresie od 1.06 do 7.07 na stawach w Maleszowej (M. Wachecki i in.). Na Pomorzu lęg miał miejsce w ujściu Baudy do Zalewu Wiślanego, gdzie stwierdzono 1 p. z 3 pisklętami, z których lotności dożyły 2 młode (T. Mokwa, Mi. Goc). W roku 2021 stwierdzono rekordową liczebność szczudłaka w Polsce, w tym aż 7 lęgów zakończyło się sukcesem. Poprzednio maksymalnie odnotowano 7 p. w roku



Rys. 6. Zmiany liczebności populacji lęgowej szczudłaka *Himantopus himantopus* w Polsce w latach 1994–2021 (Stawarczyk et al. 2017, Komisja Faunistyczna 2017, 2018, 2019, Ławicki et al. 2021, Chodkiewicz et al. 2022, niniejsze dane)

Fig. 6. Changes in number of breeding pairs of the Black-winged Stilt in Poland in 1994–2021. (1) – number of pairs

2017 (Komisja Faunistyczna 2018). Wysoka liczebność w roku 2021 była skorelowana z najobfitszym nalotem tego gatunku w kraju (121 os. w 50 stw.; Sikora et al. 2023). Pierwszy współczesny lęg szczydłaka wykryto w roku 1994 na jez. Świdwie na Pomorzu (Staszewski et al. 1995), a w ostatnich trzech dekadach populacja lęgowa fluktuowała od 0 do 10 p., najczęściej nie przekraczając 3 p. (rys. 6).

Tabela 11. Liczba par, zajętych powierzchni 10 × 10 km i rozpowszechnienie szczydłaka *Himantopus himantopus* w regionach ornitologicznych Polski w roku 2021

Table 11. Number of pairs (1), occupied 10 × 10 km squares (2) and occupancy (3) of the Black-winged Stilt in ornithological regions in Poland in 2021. (4) – total

	DS	GS	KU	LD	LL	MP	MZ	PK	PL	PM	SW	WM	WP	ZL	Razem (4)
N par (1)				1	4			3		1	1				10
N pow (2)				1	2			1		1	1				6
Rozp (%) (3)				0,7	0,9			0,5		0,2	0,7				0,2

Szablodziób *Recurvirostra avosetta*

Liczebność: 2 p.

Trend: fluktuacje (2000–2021)

Kompletność: wysoka

Stwierdzono gniazdowanie 2 p. na zb. Jeziorsko, czyli na stanowisku, na którym rok wcześniej gniazdowało 5 p. (Chodkiewicz et al. 2022). Uwagę zwraca obserwacja 4 p. z 7.05, w tym jednej pary kopulującej, przy ujściu Kanału Piastowskiego do Zalewu Szczecińskiego. Lęgu w tym miejscu nie udało się jednak potwierdzić (M. Sołowiej i in.). Rok 2021 był także jednym z najmniej obfitujących w pojawy ptaków nielegowych (Sikora et al. 2023). W Polsce szablodziób gniazduje nieregularnie, a jego liczebność w latach 2000–2021 wahała się w granicach 0–8 par (Stawarczyk et al. 2017, Ławicki et al. 2021, Chodkiewicz et al. 2022, Muszyńska 2022), co ma związek z pozostawianiem naszego kraju poza zwartym zasięgiem populacji lęgowej (Keller et al. 2020).

Tabela 12. Liczba par, zajętych powierzchni 10 × 10 km i rozpowszechnienie szablodzioba *Recurvirostra avosetta* w regionach ornitologicznych Polski w roku 2021

Table 12. Number of pairs (1), occupied 10 × 10 km squares (2) and occupancy (3) of the Pied Avocet in ornithological regions in Poland in 2021. (4) – total

	DS	GS	KU	LD	LL	MP	MZ	PK	PL	PM	SW	WM	WP	ZL	Razem (4)
N par (1)				2											2
N pow (2)				1											1
Rozp (%) (3)				0,7											0,03

Sieweczka obrożna *Charadrius hiaticula*

Liczebność: 179 p.

Trend: spadek (1980–2021)

Kompletność: bardzo wysoka

Stwierdzono 179 par lęgowych na 57 powierzchniach w 9 regionach (tab. 13). Ponad połowa populacji, tj. 97 p., gniazdowała w OSO Dolina Środkowej Wisły na odcinku od ujścia Sanu do okolic Płocka (Ł. Bednarz, D. Bukaciński, T. Chodkiewicz, A. Różycki i in.). Na wybrzeżu stwierdzono łącznie 69 p., z czego ponad połowa (35 p.) na wydmach Słowińskiego PN (M. Jędro, Ma. Goc). Liczniej gatunek zasiedlał też plaże nadmorskie od Gdańska-Stogów do Piasków na Mierzei Wiślanej, gdzie łącznie gniazdowały 23 p., z czego większość przy ujściu Wisły (11 p.) (S. Bzoma i in.). W okolicach Zalewu Szczecińskiego stwierdzono 4 p. na pojedynczych stanowiskach (Z. Kajzer, M. Jasiński,

D. Marchowski, M. Sołowiej). W Dolinie Dolnego Bugu stwierdzono 2 p. (Ł. Wardec-ki). Poza tymi obszarami wykazano również lęgi siewczek obrożnych na śródlądowych stanowiskach antropogenicznych. W dolinie środkowej Warty stwierdzono 2 p. w okolicach Konina, w tym jedną na śródpolnym rozlewisku (S. Mielczarek). Na zb. Jeziorsko gniazdowały 3 p. (T. Janiszewski), a w kopalni torfu Rabinówka na Podlasiu – 2 p. (G. Grygoruk). Potwierdzono występowanie 6 p. na śródpolnych rozlewiskach pod Pruszkowem na Mazowszu (P. Żarkiewicz). Liczebność siewczki obrożnej w Polsce w roku 2021 była niższa o ok. 20% od stanu z roku 2020 (Chodkiewicz et al. 2022). Największy spadek objął populację znad Wisły, która liczyła o ponad 35% mniej par niż w poprzednim sezonie. Spadek objął również populację nadbużańską (z 5–8 do 2 p.). Stabilna wobec poprzedniego roku pozostała natomiast populacja nadmorska, która liczyła wówczas 65 p. (o 4 mniej niż w roku 2021) (Chodkiewicz et al. 2022).

Tabela 13. Liczba par, zajętych powierzchni 10×10 km i rozpowszechnienie siewczki obrożnej *Charadrius hiaticula* w regionach ornitologicznych Polski w roku 2021

Table 13. Number of pairs (1), occupied 10×10 km squares (2) and occupancy (3) of the Common Ringed Plover in ornithological regions in Poland in 2021. (4) – total

	DS	GS	KU	LD	LL	MP	MZ	PK	PL	PM	SW	WM	WP	ZL	Razem (4)
N par (1)				3	10		89	1	3	69	2		2		179
N pow (2)				2	3		25	1	2	20	1		2		57
Rozp (%) (3)				1,4	1,3		6,2	0,5	1,0	3,9	0,7		0,6		1,7

Kulik wielki *Numenius arquata*

Liczebność: 193 p.

Trend: nieokreślony (2015–2021) Kompletność: bardzo wysoka

Zebrano informacje o występowaniu 193 p. na 74 powierzchniach (tab. 14). Dla niektórych obszarów (np. Dolina Dolnej Warty i Dolnej Noteci, Dolina Tyśmienicy) zebrane dane prawdopodobnie są niepełne. Rzeczywistą liczebność populacji krajowej w roku 2021 można ocenić na 195–200 p. Główne obszary występowania ograniczają się do Mazowsza, Podlasia, Wielkopolski, Lubelszczyzny i Ziemi Łódzkiej (tab. 14). Większość populacji krajowej (ok. 85%) zasiedla OSO. Na Mazowszu najliczniej gniazdował w OSO: Dolina Omulwi i Płodownicy (24–26 p.), Dolina Dolnego Bugu (15–16 p.), Dolina Wkry i Mławki (8–9 p.) oraz Bagno Pulwy (3–4 p). Licznie gniazdował także w IBA Ostoja Kurpiowska, gdzie stwierdzono 14 p., w tym 6 p. w jej granicach (dane TP Bocian). Na Podlasiu głównym lęgowiskiem jest OSO Ostoja Biebrzańska wraz z doliną Brzozówki, gdzie występowało łącznie 33–38 p. oraz Bagno Wizna – 9–10 p. W Wielkopolsce główne lęgowiska znajdowały się w 3 OSO: Nadnoteckie Łęgi (12 p.), Wielki Łęg Obrzański (6 p.) oraz Dolina Środkowej Warty (4 p.) (dane TP Bocian, RDOŚ Poznań). Na Lubelszczyźnie najważniejszym lęgowiskiem jest kompleks łąk „Żelazna” w dolinie Kanału Wieprz-Krzna, gdzie gniazdowało 10 p. (dane TP Bocian) oraz Krowie Bagno, na którym stwierdzono 2–3 p. (T. Frączek, J. Synowiecki). Na Ziemi Łódzkiej tradycyjnym, ważnym lęgowiskiem pozostaje dolina Neru, gdzie policzono 14 p. (T. Musiał, P. Majchrzak, S. Mielczarek). Poza wymienionymi regionami stwierdzono także 3 p. w dolinie górnej Pilicy, w tym 2 p. koło Koniecpola w Małopolsce (M. Borowik, G. Kaczorowski, P. Hermański), oraz 1 p. koło Grodziska na Ziemi Świętokrzyskiej (G. Kaczorowski). Prawdopodobnie lęgowe pary odnotowano także w dolinie Nidy – po 1 p. koło Górek (K. Bolechowski, N. Gorczońska) oraz k. Skowronna Dolnego (R. Maniarski), a także w dolinie Szkwy k. Wilamowa na Warmii i Mazurach (S. Czernek). Trend liczebności populacji

kulika wielkiego w latach 2015–2021 jest nieokreślony, choć od roku 2018 obserwuje się jej nieznaczny wzrost. Prawdopodobnie realizacja działań czynnej ochrony, w tym zabezpieczanie gniazd pastuchami elektrycznymi i zasilenie populacji ponad 400 os. z hodowli wolierowej prowadzonymi przez TP Bocian, Polskie Towarzystwo Ochrony Ptaków oraz RDOŚ w Poznaniu, pozytywnie wpłynęła na populację kulika wielkiego w Polsce. Coraz częściej notuje się przypadki gniazdowania ptaków odchowanych w niewoli (dane TP Bocian, M. Maluśkiewicz).

Tabela 14. Liczba par, zajętych powierzchni 10×10 km i rozpowszechnienie kulika wielkiego *Numenius arquata* w regionach ornitologicznych Polski w roku 2021

Table 14. Number of pairs (1), occupied 10×10 km squares (2) and occupancy (3) of the Eurasian Curlew in ornithological regions in Poland in 2021. (4) – total

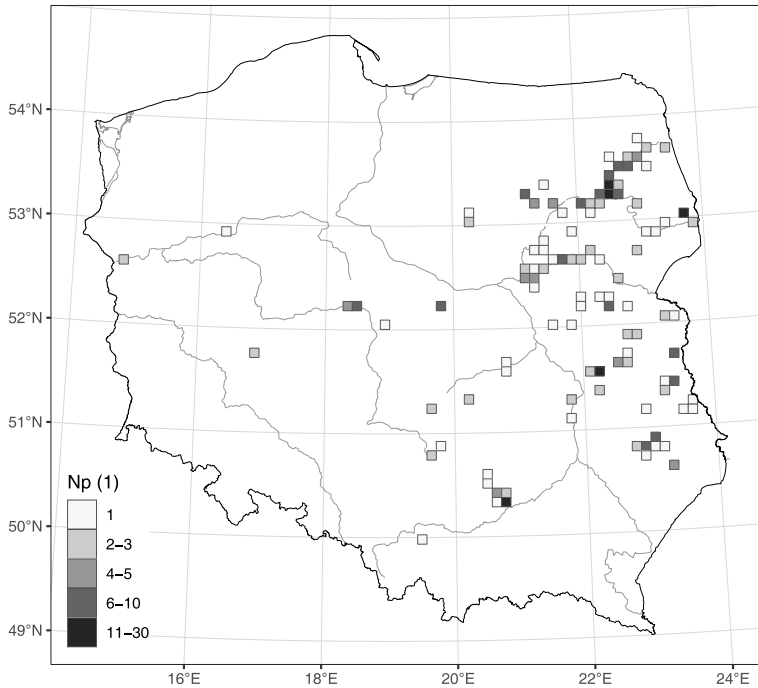
	DS	GS	KU	LD	LL	MP	MZ	PK	PL	PM	SW	WM	WP	ZL	Razem (4)
N par (1)				14	20	2	76		51		3	2	25		193
N pow (2)				4	8	1	31		15		3	1	11		74
Rozp (%) (3)				2,8	3,5	0,5	7,7		7,2		2,1	0,4	3,1		2,2

Rycyk *Limosa limosa*

Liczebność: 381 p.	Trend: spadek (2000–2021)	Kompletność: wysoka
--------------------	---------------------------	---------------------

Zebrano informacje o 381 parach występujących w 8 regionach (tab. 15, rys. 7). Zdecydowaną większość rycyków (łącznie 90% par) stwierdzono na Podlasiu (152 p.), Mazowszu (98 p.) oraz Lubelszczyźnie (78 p.). Ważnym regionem występowania jest także Ziemia Świętokrzyska, gdzie rycyki gniazdują głównie w dolinie Nidy. Z tej ważnej ostoi brak jednak dokładnych danych o stanie populacji w roku 2021. Na podstawie kompilacji wyników z MPP oraz danych zdeponowanych w bazie ornitho.pl wynika, że w dolinie Nidy mogło gniazdować przynajmniej 20 p., a w całym regionie 29 p. Poza wymienionymi regionami występują już szczątkowe populacje z rozproszonymi stanowiskami liczącymi zazwyczaj 1–3 p. (rys. 7). Rycyk zasiedla głównie doliny dużych i średniej wielkości rzek środkowej i wschodniej Polski. Głównym lęgowiskiem w Polsce jest Dolina Biebrzy, gdzie w latach 2018–2022 stwierdzono 131–149 p. (Krajewski et al. 2023). Ważną ostoją rycyka pozostaje dolina Bugu (22 p.) oraz Niecka Gródecko-Michałowska na skraju Puszczy Knyszyńskiej, gdzie dzięki działaniom ochronnym Polskiego Towarzystwa Ochrony Ptaków na niewielkiej powierzchni gniazdowało 15–19 p. (M. Korniluk, P. Białomyzy, T. Tumiel). Na zachodzie Polski najliczniej zachował się w dolinie środkowej Warty i Neru. Z doliny Warty zebrano dla roku 2021 informacje o 12 p., ale prawdopodobnie gniazdował tam nieco liczniej. Z kolei nad Nerem w 2021 roku stwierdzono zaledwie 1 p., ale rok wcześniej, przy korzystniejszych warunkach hydrologicznych, policzono aż 16 p. (B. Lesner, P. Majchrzak, T. Musiał). Ze względu na niekompletność danych krajową populację można w 2021 roku ostrożnie ocenić na 380–420 par.

Rycyk jest gatunkiem, którego liczebność w Polsce systematycznie maleje. W latach 1970–1980 krajowa populacja była oceniana na 7 000–8 000 par (Tomiałojć 1990), a w latach 2013–2018 już tylko na 800–1 500 par (Chodkiewicz et al. 2019). Szczególnie silny i dobrze udokumentowany spadek liczebności dotyczy zachodniej Polski. Na Pomorzu gatunek ten już w zasadzie wymarł, choć w latach 1990. istniały tam prężne populacje (łącznie 70–120 par), a w latach 2000–2012 gniazdował tam jeszcze w liczbie 5–10 par (Sikora et al. 2013). Na Śląsku, gdzie w latach 1988–1999 gniazdowało 24–91 par, ostatnie lęgi tego gatunku stwierdzono w 2013 (Beuch et al. 2017) i potem tylko



Rys. 7. Rozmieszczenie stanowisk lęgowych rycyka *Limosa limosa* w Polsce w roku 2021
Fig. 7. Distribution of the Black-tailed Godwit breeding sites in Poland in 2021. (1) – number of breeding pairs in each 10 × 10 km square

w roku 2020 (Lenkiewicz & Smyk 2021). W zachodniej Polsce najważniejszym obszarem występowania dla tego gatunku była Wielkopolska. W regionie tym w latach 90. XX w. jego populację oceniono na 1 100–1 200 par skupioną głównie w dolinach Warty i Noteci (Bednorz et al. 2000). W latach 2007–2011 gniazdowało już tylko 110–185 par (Wylegała et al. 2012), a w latach 2018–2021 pozostało zaledwie 15–30 par (P. Wylegała). Ze wschodu Polski istnieje znacznie mniej precyzyjnych danych dokumentujących spadki liczebności, choć dla niektórych dolin rzecznych, będących kluczowymi krajowymi lęgowiskami, istnieją takie dane. W dolinach Biebrzy, Dolnej Narwi, Bagiennej Doliny Narwi i Dolnego Bugu w ciągu ostatnich 20–40 lat udokumentowano spadki liczebności o 76–96% (Kasprzykowski et al. 2017, Tumieli et al. 2020, Krajewski et al. 2023).

Tabela 15. Liczba par, zajętych powierzchni 10 × 10 km i rozpowszechnienie rycyka *Limosa limosa* w regionach ornitologicznych Polski w roku 2021

Table 15. Number of pairs (1), occupied 10 × 10 km squares (2) and occupancy (3) of the Black-tailed Godwit in ornithological regions in Poland in 2021. (4) – total

	DS	GS	KU	LD	LL	MP	MZ	PK	PL	PM	SW	WM	WP	ZL	Razem (4)
N par (1)				4	78	3	98		152		29		15	2	381
N pow (2)				2	23	2	39		26		8		4	1	105
Rozp (%) (3)				1,4	10,1	0,9	9,7		12,6		5,7		1,1	0,8	3,2

Dubelt *Gallinago media*

Liczebność: 486 ♂♂

Trend: spadek (2010–2021)

Kompletność: bardzo wysoka

Odnotowano 486 tokujących samców na 57 powierzchniach (MPP 2021) (tab. 16). Głównym obszarem występowania dubelta było Podlasie, gdzie stwierdzono 327 samców na 42 tokowiskach. Najważniejszym łęgowskim pozostaje Ostoja Biebrzańska (208 samców na 20 tokowiskach). Liczebność w Ostoi Biebrzańskiej wzrosła znacząco w porównaniu do lat 2020 i 2019 (odpowiednio 159 i 115 samców), co wiązało się ze sprzyjającymi warunkami hydrologicznymi (relatywnie wysoki poziom wody) w ciągu całego sezonu łęgowego (MPP 2021). Najbardziej znaczący wzrost liczby tokowisk i stwierdzonych na nich samców odnotowano na Lubelszczyźnie, gdzie w roku 2021 stwierdzono 143 samce na 24 tokowiskach (MPP 2021) w stosunku do 74 samców na 11 tokowiskach w roku 2020 (Chodkiewicz et al. 2022). Na szczególną uwagę zasługuje odnalezienie dwóch tokowisk na Lubelszczyźnie – jednego przy granicy z Ukrainą w ujściu rzeki Uherka do Bugu, gdzie stwierdzono 13–16 tokujących samców oraz drugiego – liczącego 3 samce – w dolinie Tyśmienicy, będącego najbardziej wysuniętym na północ stanowiskiem na Lubelszczyźnie (MPP 2021). Od 4 lat trwa coroczny wzrost populacji dubelta – od 261 samców w 2018, 345 w 2019, 450 w 2020 do 486 w 2021 (Sikora et al. 2020, Ławicki et al. 2021, Chodkiewicz et al. 2022, niniejsze dane). W dłuższej perspektywie, w ciągu 12 lat badań (2010–2021), liczebność dubelta na kontrolowanych stanowiskach zmniejszyła się o ok. 40% (MPP 2021). Poprawa sytuacji w ostatnich latach wskazuje na zatrzymanie postępującego od wielu lat drastycznego spadku liczebności populacji w Polsce.

Tabela 16. Liczba tokujących samców, zajętych powierzchni 10 × 10 km i rozpowszechnienie dubelta *Gallinago media* w regionach ornitologicznych Polski w roku 2021

Table 16. Number of lekking males (1), occupied 10 × 10 km squares (2) and occupancy (3) of the Great Snipe in ornithological regions in Poland in 2021. (4) – total

	DS	GS	KU	LD	LL	MP	MZ	PK	PL	PM	SW	WM	WP	ZL	Razem (4)
N samców (1)					143		16		327						486
N pow (2)					22		6		29						57
Rozp (%) (3)					9,7		1,5		14,0						1,7

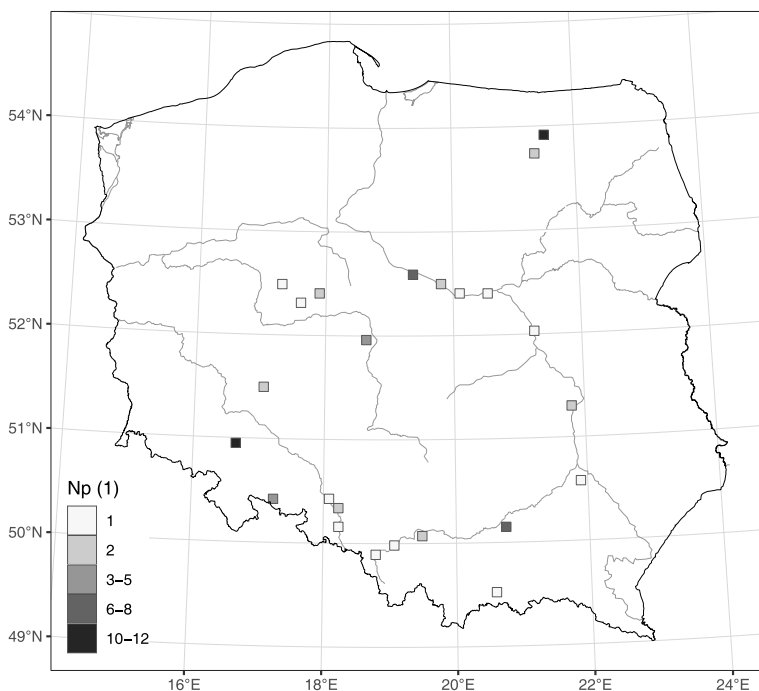
Mewa czarnogłowa *Ichthyætus melanocephalus*

Liczebność: 68 p.

Trend: spadek (2007–2021)

Kompletność: wysoka

Wykryto 68 par w 8 regionach (tab. 17, rys. 8). Najliczniej zasiedlała Dolny Śląsk, Warmię i Mazury oraz Małopolskę, natomiast najwięcej wykrytych stanowisk (po 5) stwierdzono na Mazowszu i Górnym Śląsku. Najistotniejsze stanowiska łęgowe znajdowały się na Zb. Mietkowskim na Dolnym Śląsku – 12 p. (M. Gajewski), na Jez. Ryńskim na Warmii i Mazurach – 10 p. (P. Zieliński, T. Iciek, A. Błąd), k. m. Wał-Ruda pod Tarnowem w Małopolsce – 8 p. (M. Baran), w żwirowni Skoki na Kujawach – 6 p. (P. Zieliński i in.) oraz na zb. Przykona w Wielkopolsce – 5 p. (T. Iciek). Na pozostałych 18 stanowiskach stwierdzono po 1–3 par mew czarnogłowych. W roku 2021 potwierdzono łęgi 4 p. mieszanych, w tym 3 p. tworzyły mieszańce międzygatunkowe. Jedną parę mieszaną tworzyły „czyste” osobniki mewy czarnogłowej i śmieszki *Chroicocephalus ridibundus*. W ostatnich latach udział par mieszanych w Polsce sukcesywnie wzrasta (Zagalska-Neubauer et al. 2022). W roku 2021 liczebność populacji mewy czarnogłowej była na przeciętnym



Rys. 8. Rozmieszczenie stanowisk lęgowych mewy czarnogłowej *Ichthyaeetus melanocephalus* w Polsce w roku 2021

Fig. 8. Distribution of the Mediterranean Gull breeding sites in Poland in 2021. (1) – number of breeding pairs in each 10 × 10 km square

poziomie, natomiast rozposzechnienie – 23 zajęte kwadraty – osiągnęło najwyższą wartość w ciągu kilkunastu minionych lat (Zieliński et al. 2022). W latach 2007–2020 odnotowano umiarkowany spadek liczebności krajowej populacji mewy czarnogłowej, a średnie roczne tempo spadku wynosiło 6,4%. Zarówno fluktuacje, jak i spadek liczebności w Polsce mogą mieć związek ze znaczną dyspersją lęgową gatunku (Zieliński et al. 2022).

Tabela 17. Liczba par, zajętych powierzchni 10 × 10 km i rozposzechnienie mewy czarnogłowej *Ichthyaeetus melanocephalus* w regionach ornitologicznych Polski w roku 2021

Table 17. Number of pairs (1), occupied 10 × 10 km squares (2) and occupancy (3) of the Mediterranean Gull in ornithological regions in Poland in 2021. (4) – total

	DS	CS	KU	LD	LL	MP	MZ	PK	PL	PM	SW	WM	WP	ZL	Razem (4)
N par (1)	17	6	6			10	7	1			12	9			68
N pow (2)	3	5	1			2	5	1			2	4			23
Rozp (%) (3)	1,1	3,7	0,8			0,9	1,2	0,5			0,8	1,1			0,7

Rybitwa czubata *Thalasseus sandvicensis*

Liczebność: 77 p.

Trend: fluktuacje (2006–2021)

Kompletność: bardzo wysoka

Odnotowano gniazdowanie 77 par na Pirsie Rudowym w Porcie Północnym w Gdańsku (S. Bzoma i in.). Wszystkie lęgi zakończyły się niepowodzeniem w wyniku drapieżnictwa

lisa *Vulpes vulpes*. W roku 2021 nie odnotowano prób łęgów w rez. Mewia Łacha w ujściu Wisły (MPP 2021). W ostatnich 4 latach populacja rybitwy czubatej silnie fluktuowała – od 2 do 200 par (Sikora et al. 2020, Ławicki et al. 2021, Chodkiewicz et al. 2022).

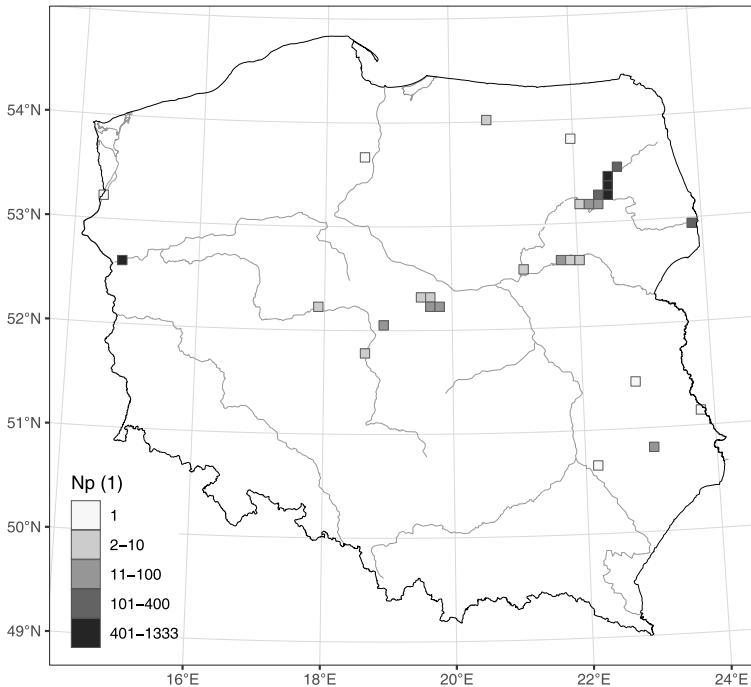
Rybitwa białoskrzydła *Chlidonias leucopterus*

Liczebność: 4127 p.

Trend: niezany

Kompletność: bardzo wysoka

Stwierdzono 4 127 p. na 30 powierzchniach na obszarze 9 regionów (tab. 18, rys. 9). Wyjątkowo korzystne warunki pogodowe (śnieżna zima i obfite opady deszczu w kwietniu i maju) wpłynęły pozytywnie na dostępność optymalnych siedlisk łęgowych (głównie łąk zalewiskowych) dla rybitwy białoskrzydłej na dużym obszarze kraju (rys. 9). Największe skupiska kolonii łęgowych stwierdzono na Podlasiu, gdzie gniazdowało łącznie 80% krajowej populacji. Najliczniej zasiedlone stanowisko w tym regionie znajdowało się pod Zajkami nad Narwią, gdzie wykazano łącznie 1 034 p. (M. Polakowski i in.). W dolinie Biebrzy w 32 koloniach stwierdzono łącznie 1 911 p. (Ł. Krajewski), a 255 p. policzono na zb. Siemianówka (M. Polakowski, M. Broniszewska, A. Goławski). Poza Podlasiem ważnymi stanowiskami był PN Ujście Warty z 562 p. (M. Wołowik i in.) oraz OSO doliny Przysowy i Słudwi na Mazowszu, gdzie stwierdzono 128 p. (S. Kielan, Ł. Matyjasiak). Najbardziej południowymi stanowiskami były rez. Imieli Ług na Podkarpaciu (P. Kosidło) z 1 p. oraz zb. Nielisz na Lubelszczyźnie skupiający 60 p. (P. Szewczyk, P. i K. Stachyra).



Rys. 9. Rozmieszczenie stanowisk łęgowych rybitwy białoskrzydłej *Chlidonias leucopterus* w Polsce w roku 2021

Fig. 9. Distribution of the White-winged Black Tern breeding sites in Poland in 2021. (1) – number of breeding pairs in each 10 × 10 km square



Fot. 4. Rybitwa białoskrzydła *Chlidonias leucopterus*, dolina Biebrzy, Podlasie, 18.05.2021 (fot. M. Rycak) – *White-winged Black Tern, Biebrza valley, May 2021*

Rybitwa białoskrzydła jest gatunkiem, którego populacja wykazuje znaczne wahania liczebności, ściśle uzależnione od dostępności odpowiednich siedlisk łągowych, które liczniej pojawiają się w tzw. lata mokre. Pod koniec XX w. krajową liczebność oceniano na kilkadziesiąt do 200 p., choć w sprzyjającym roku 1996 na samych tylko Bagnach Biebrzańskich stwierdzono aż 2 000–3 000 p. (Stawarczyk et al. 2017). W pierwszej dekadzie XXI w. liczebność silnie fluktuowała, nie przekraczając zwykle 1 000 p. Rekordowy okazał się rok 2010, kiedy wykryto 167 kolonii z łączną liczbą 11 860–12 240 p. (Ławicki et al. 2011). Mimo że wynik z roku 2021 znacznie ustępował temu rekordowemu z 2010, można uznać, że był on jednym z bardziej korzystnych sezonów dla rybitwy białoskrzydłej w bieżącym wieku.

Tabela 18. Liczba par, zajętych powierzchni 10 × 10 km i rozpowszechnienie rybitwy białoskrzydłej *Chlidonias leucopterus* w regionach ornitologicznych Polski w roku 2021

Table 18. Number of pairs (1), occupied 10 × 10 km squares (2) and occupancy (3) of the White-winged Black Tern in ornithological regions in Poland in 2021. (4) – total

	DS	GS	KU	LD	LL	MP	MZ	PK	PL	PM	SW	WM	WP	ZL	Razem (4)
N par (1)				30	62		164	1	3291	2		8	7	562	4127
N pow (2)				2	3		9	1	9	2		2	1	1	30
Rozp (%) (3)				2,1	1,3		2,2	0,5	4,3	0,4		0,8	0,3	0,8	0,9

Ślepowron *Nycticorax nycticorax*

Liczebność: 1315 p.

Trend: wzrost (2009–2021)

Kompletność: bardzo wysoka

W roku 2021 ślepowron gniazdował w 16 koloniach w 4 regionach (tab. 19), głównie w mezoregionie Doliny Górnej Wisły, gdzie odnotowano 1 160 par (MPP 2021). Populacja skoncentrowana była tam w 4 OSO – Dolina Górnej Wisły (498 p.), Dolina Dolnej Skawy (394 p.), Dolina Dolnej Soły (238) oraz Stawy w Brzeczach (30 p.) (J. Betleja i in.). Poza tym obszarem potwierdzono istnienie 2 kolonii – na stawach w Górkach w OSO Dolina Nidy (67 p.) (M. Jantarski) oraz na zb. Mokrzec na Podkarpaciu (86 p.) (K. Paryś, J. Betleja). Wykryto także nowe stanowisko na Zb. Rożnowskim w Małopolsce (2 p.) (T. Wilk). Łączna liczebność ślepowrona w roku 2021 była rekordowa i po raz pierwszy przekroczyła 1 300 par (Chylarecki et al. 2018, Sikora et al. 2020, Ławicki et al. 2021, Chodkiewicz et al. 2022).

Tabela 19. Liczba par, zajętych powierzchni 10×10 km i rozpowszechnienie ślepowrona *Nycticorax nycticorax* w regionach ornitologicznych Polski w roku 2021

Table 19. Number of pairs (1), occupied 10×10 km squares (2) and occupancy (3) of the Black-crowned Night Heron in ornithological regions in Poland in 2021. (4) – total

	DS	GS	KU	LD	LL	MP	MZ	PK	PL	PM	SW	WM	WP	ZL	Razem (4)
N par (1)		528				634		86			67				1315
N pow (2)		3				6		1			1				11
Rozp (%) (3)		2,2				2,8		0,5			0,7				0,3

Czapla biała *Ardea alba*

Liczebność: 845 p.

Trend: wzrost (2011–2021)

Kompletność: bardzo wysoka

Stwierdzona na 10 stanowiskach w 3 regionach, w łącznej liczbie 845 par (tab. 20). Gatunek gniazdował wyłącznie w Polsce północno-wschodniej (670 p.) oraz na Lubelszczyźnie (175 p.). Najliczniejsze czaplińce w roku 2021 znajdowały się nad jez. Gaładuś na Podlasiu – 235 zajętych gniazd (A. Zbyryt) oraz na trzech stanowiskach mazurskich: na polderze Sątopy-Samulewo – 127 (S. Menderski), na jez. Kruklin – 104 i na jez. Gołdapiwo – 102 (A. Zbyryt). Najliczniejszym czaplińcem na Lubelszczyźnie był ten na zalewie w Husynnem skupiający 95 p. (T. Bajdak). Na 6 stanowiskach stwierdzono wspólne lęgi z czapłą siwą *A. cinerea*, a w pozostałych 4 koloniach czaple białe gniazdowały samotnie. Łączna liczebność z roku 2021 jest jak dotąd najwyższym wynikiem uzyskanym w kraju. W porównaniu do poprzedniego sezonu liczba par lęgowych czapli białej w Polsce wzrosła o 18% (Chodkiewicz et al. 2022), a wobec stanu z 2018 roku aż o 41% (Zbyryt 2019). Największy wzrost liczebności między sezonami 2020 i 2021 objął populację z Polski północno-wschodniej (21%), a mniejszy (9%) tę z Lubelszczyzny.

Tabela 20. Liczba par, zajętych powierzchni 10×10 km i rozpowszechnienie czapli białej *Ardea alba* w regionach ornitologicznych Polski w roku 2021

Table 20. Number of pairs (1), occupied 10×10 km squares (2) and occupancy (3) of the Great Egret in ornithological regions in Poland in 2021. (4) – total

	DS	GS	KU	LD	LL	MP	MZ	PK	PL	PM	SW	WM	WP	ZL	Razem (4)
N par (1)					175				288			382			845
N pow (2)					4				2			4			10
Rozp (%) (3)					1,8				1,0			1,6			0,3

Rybołów *Pandion haliaetus*

Liczebność: 30 p.

Trend: spadek (2000–2021)

Kompletność: bardzo wysoka

Gniazdował w 4 regionach na 30 stanowiskach położonych w północnej i północno-zachodniej Polsce (MPP 2021) (tab. 21). Na 28 stanowiskach stwierdzono gniazdowanie pewne. W 2 przypadkach stwierdzono zajęte rewiry bez znanych gniazd. Łącznie odchowanych zostało 37 piskląt w 14 gniazdach (50%). Przeważały lęgi z 3 pisklętami (7). W 6 przypadkach gniazdo opuściły 2 młode, a w jednym 4. Sukces lęgowy był jednym z najniższych od początku trwania monitoringu, czyli od roku 2000 (gorszym sezonem był tylko rok 2015) (MPP 2021). Liczba młodych w przeliczeniu na gniazdo z sukcesem w roku 2021 wynosiła 2,64, a w przeliczeniu na parę lęgową 1,32. Sukces lęgowy rybołowa wykazuje tendencję spadkową, ale produktywność par z sukcesem rośnie (MPP 2021). W całym okresie badań liczebność gatunku wykazywała tendencję spadkową, chociaż w roku 2021 stwierdzono o 5 stanowisk więcej niż w poprzednim sezonie, co może być symptomem odwrócenia niekorzystnego trendu.

Tabela 21. Liczba par, zajętych powierzchni 10×10 km i rozpowszechnienie rybołowa *Pandion haliaetus* w regionach ornitologicznych Polski w roku 2021

Table 21. Number of pairs (1), occupied 10×10 km squares (2) and occupancy (3) of the Osprey in ornithological regions in Poland in 2021. (4) – total

	DS	GS	KU	LD	LL	MP	MZ	PK	PL	PM	SW	WM	WP	ZL	Razem (4)
N par (1)										9		9	6	6	30
N pow (2)										7		8	4	5	24
Rozp (%) (3)										1,4		3,2	1,1	4,0	0,7

Gadożer *Circaetus gallicus*

Liczebność: 4 p.

Trend: spadek (2000–2021)

Kompletność: średnia

Stwierdzono 3 pary z gniazdami i 1 rewir bez gniazda, wszystkie na Lubelszczyźnie. W Puszczy Solskiej obserwowano parę w rewirze z gniazdem, jednak lęg został opuszczony na etapie wysiadania (P. Stachyra, S. Aftyka). Dwa zajęte gniazda znaleziono ponadto w Lasach Sobiborskich. W jednym z nich stwierdzono stratę – znaleziono martwe pisklę pod gniazdem (Kołodziejczyk et al. 2022), a przy drugim gnieździe obserwowano parę (w tym kopulację) przynajmniej do końca maja, ale ostatecznie nie wiadomo, czy lęg miał miejsce (S. Śliwiński, S. Aftyka). Regularne obserwacje 2–3 ptaków w sezonie lęgowym na Krowim Bagnie w Poleskim PN (S. Aftyka i in.) sugerują, że w pobliżu może również znajdować się rewir. Ponadto pojedyncze ptaki obserwowano regularnie w sezonie lęgowym w co najmniej 3 innych lokalizacjach na Lubelszczyźnie, co może świadczyć o istnieniu innych nieznanymi jeszcze stanowisk lęgowych. W latach 2018–2021

Tabela 22. Liczba par, zajętych powierzchni 10×10 km i rozpowszechnienie gadożera *Circaetus gallicus* w regionach ornitologicznych Polski w roku 2021

Table 22. Number of pairs (1), occupied 10×10 km squares (2) and occupancy (3) of the Short-toed Snake Eagle in ornithological regions in Poland in 2021. (4) – total

	DS	GS	KU	LD	LL	MP	MZ	PK	PL	PM	SW	WM	WP	ZL	Razem (4)
N par (1)					4										4
N pow (2)					4										4
Rozp (%) (3)					1,8										0,1

stwierdzano 1–4 p. lęgowych gadożera w kraju, wszystkie na Lubelszczyźnie (Sikora et al. 2020, Ławicki et al. 2021, Chodkiewicz et al. 2022).

Orlik grubodzioby *Clanga clanga*

Liczebność: 18 p. Trend: stabilny (2000–2021) Kompletność: bardzo wysoka

Odnotowano 18 p. w 2 regionach (MPP 2021) (tab. 23). Krajowa populacja skoncentrowana była przede wszystkim na Podlasiu, gdzie stwierdzono 16 par. Główne lęgowisko obejmuje Ostoję Biebrzańską, gdzie odnotowano 13 p., w tym na 8 stanowiskach gniazdowały pary „czyste”, w 2 rewirach stwierdzono pary mieszane (samica orlika grubodziobego / samiec orlika krzykliwego *C. pomarina* lub mieszaniec), a w 3 przypadkach jeden ptak tworzący parę był orlikiem grubodziobym, a przynależność gatunkowa drugiego ptaka pozostaje niejasna (G. Maciorowski). Ponadto stwierdzono 3 inne stanowiska na Podlasiu – 2 w Puszczy Białowieskiej (P. Mirski) i 1 w Puszczy Knyszyńskiej (R. Kapowicz). Na Lubelszczyźnie w 2 gniazdach lęgi wysiadywały samice o cechach orlika grubodziobego, ale pisklęta nosiły cechy hybryd, zatem sparowane były przypuszczalnie z orlikiem krzykliwym lub hybrydą (J. Wójciak). Sukces gniazdowy w roku 2021 wyniósł 73% (MPP 2021). W latach 2000–2021 liczebność populacji lęgowej orlika grubodziobego w Polsce wahała się w przedziale od 11 do 20 par. Wynik uzyskany w roku 2021 jest jednym z najwyższych odnotowanych w całym okresie badań (Stawarczyk et al. 2017, Chylarecki et al. 2018, Sikora et al. 2020, Ławicki et al. 2021, Chodkiewicz et al. 2022).

Tabela 23. Liczba par, zajętych powierzchni 10 × 10 km i rozpowszechnienie orlika grubodziobego *Clanga clanga* w regionach ornitologicznych Polski w roku 2021. W zestawieniu uwzględniono pary mieszane *C. pomarina* × *C. clanga* oraz pary z osobnikami wykazującymi cechy mieszańców tych dwóch gatunków

Table 23. Number of pairs (1), occupied 10 × 10 km squares (2) and occupancy (3) of the Greater Spotted Eagle in ornithological regions in Poland in 2021. Table includes mixed pairs (*C. pomarina* × *C. clanga*) and pairs with individuals that are hybrids of these two species. (4) – total

	DS	GS	KU	LD	LL	MP	MZ	PK	PL	PM	SW	WM	WP	ZL	Razem (4)
N par (1)					2				16						18
N pow (2)					2				10						12
Rozp (%) (3)					0,9				4,8						0,4

Orzeł przedni *Aquila chrysaetos*

Liczebność: 30 p. Trend: wzrost (2000–2021) Kompletność: bardzo wysoka

Stwierdzono 30 p. w 4 regionach na 29 powierzchniach. Populację karpacką oceniono na 28 p., a na nizinach 2 p. występują w okolicach Słowińskiego PN. W części zachodniej Karpat odnotowano 10 p. w makroregionach: Beskidy Zachodnie (8 p.) oraz po jednej parze w Obniżeniu Orawsko-Podhalańskim i Łańcuchu Tatrzańskim. Nie wykryto stanowisk orła przedniego na Pogórzu Zachodniobeskidzkim. Średnie zagęszczenie dla zachodnich Karpat wyniosło 1,2 p./1 000 km² powierzchni całkowitej. Natomiast w części wschodniej Karpat wykryto 18 p., z czego w makroregionie Beskidy Lesiste – 9 p., Beskidy Środkowe – 7 p. oraz Pogórze Środkowobeskidzkie – 2 p. Zagęszczenie w części wschodniej Karpat było wyższe niż w części zachodniej i wynosiło 1,6 p./1 000 km². O rząd wielkości różniły się zagęszczenia orła przedniego na pogórzach – 0,2 p./1 000 km² od terenów górskich – 2,4 p./1 000 km². Łączne zagęszczenie dla całych Karpat (ok. 19 640 km²)

wyniosło 1,4 p./1 000 km² powierzchni całkowitej. W roku 2021 w 18 rewirach wykryto zajęte gniazda. W 13 przypadkach lęgi zakończyły się sukcesem a pary odchowwały łącznie 14 młodych. Sukces lęgowy w roku 2021 wyniósł 72%. Liczba młodych w przeliczeniu na gniazdo z sukcesem (N=13) osiągnęła poziom 1,08, a w przeliczeniu na parę lęgową 0,72 (N=18). W latach 2000–2021 populacja lęgowa orła przedniego wahała się w zakresie od 20 do 34 p., wykazując tendencję wzrostową i stabilizację na poziomie ok. 30 p. w ostatnich kilku latach. Produktynność populacji orła przedniego w całym analizowanym okresie (2000–2021) nie wykazywała kierunkowych zmian. Na Nizinie Środkowoeuropejskiej jest to skrajnie rzadki gatunek lęgowy (Keller et al. 2020) i oprócz Polski (dwa stanowiska na Pomorzu) gniazduje tylko w Danii (Skelmose & Larsen 2022).

Tabela 24. Liczba par, zajętych powierzchni 10 × 10 km i rozpowszechnienie orła przedniego *Aquila chrysaetos* w regionach ornitologicznych Polski w roku 2021

Table 24. Number of pairs (1), occupied 10 × 10 km squares (2) and occupancy (3) of the Golden Eagle in ornithological regions in Poland in 2021. (4) – total

	DS	GS	KU	LD	LL	MP	MZ	PK	PL	PM	SW	WM	WP	ZL	Razem (4)
N par (1)		2				8		18		2					30
N pow (2)		2				7		18		2					29
Rozp (%) (3)		1,5				3,3		9,1		0,4					0,9

Uszatka błotna *Asio flammeus*

Liczebność: 0 p.	Trend: fluktuacje (2000–2021)	Kompletność: niska
------------------	-------------------------------	--------------------

W roku 2021 nie odnotowano w Polsce żadnych pewnych lęgów uszatki błotnej. Jedyłą obserwacją wskazującą na możliwość gniazdowania na Bagnach Biebrzańskich było stwierdzenie tokującego samca 28.04 w basenie środkowym (S. Czernek), ale potem nie udało się potwierdzić jego obecności (Krajewski et al. 2023).

W poprzednim raporcie za rok 2020 nie uwzględniono populacji uszatki błotnej zasiedlającej Bagno Ławki w dolnym basenie Biebrzy. Stwierdzono tam wówczas 8 par lęgowych, w tym 6 w kategorii gniazdowania pewnego (R. Mikusek, B. Głębocka, S. Czernek; Krajewski et al. 2023). Łączna liczebność uszatki błotnej w Polsce w roku 2020 wynosiła więc 9 par stwierdzonych w 2 regionach (Górny Śląsk i Podlasie), na odpowiednio 1 i 2 powierzchniach 10 × 10 km (Chodkiewicz et al. 2022, Rubacha et al. 2022, Krajewski et al. 2023). Populacja tego gatunku odznacza się silnymi wahaniami w poszczególnych latach i jest głównie zależna od sytuacji na Bagnach Biebrzańskich (Stawarczyk et al. 2017, Krajewski et al. 2023).

Puszczyk mszarny *Strix nebulosa*

Liczebność: 11 p.	Trend: wzrost (2010–2021)	Kompletność: wysoka
-------------------	---------------------------	---------------------

Liczebność puszczyka mszarnego oceniono na 11 par, z których 6 przystąpiło do lęgów (MPP 2021). Najważniejszą ostoją tej sowy są Lasy Sobiborskie i przylegające do nich Lasy Włodawskie, w których łącznie stwierdzono 10 terytoriów, w tym 5 pewnych lęgów (tab. 25). Poza wspomnianym obszarem stałego, zwartego arealu stwierdzono lęg w północnej części Polesia Lubelskiego, w okolicach Białej Podlaskiej. Nie potwierdzono występowania tego gatunku na Bagnach Biebrzańskich, gdzie w poprzednim sezonie stwierdzono pojedynczego ptaka w gnieździe orlika grubodziobego (Chodkiewicz et al. 2022). Nieznaczny spadek liczebności w stosunku do poprzedniego sezonu wynika

najprawdopodobniej z naturalnych dla gatunku fluktuacji wynikających z dostępności pokarmu.

Tabela 25. Liczba par, zajętych powierzchni 10 × 10 km i rozpowszechnienie puszczyka mszarowego *Strix nebulosa* w regionach ornitologicznych Polski w roku 2021

Table 25. Number of pairs (1), occupied 10 × 10 km squares (2) and occupancy (3) of the Great Grey Owl in ornithological regions in Poland in 2021. (4) – total

	DS	GS	KU	LD	LL	MP	MZ	PK	PL	PM	SW	WM	WP	ZL	Razem (4)
N par (1)					11										11
N pow (2)					5										5
Rozp (%) (3)					2,2										0,2

Kraska *Coracias garrulus*

Liczebność: 16 p.	Trend: spadek (2006–2021)	Kompletność: bardzo wysoka
-------------------	---------------------------	----------------------------

Stwierdzono 16 par, w tym 11 w kategorii gniazdowanie pewne, a na 5 stanowiskach w kategorii gniazdowanie prawdopodobne (MPP 2021, Ł. Matyjasik) (tab. 26). Poza tym na 8 stanowiskach obserwowano pojedyncze ptaki nieprzystępujące do lęgów. W populacji zasiedlającej Równinę Kurpiowską na Mazowszu stwierdzono 15 par, czyli tyle samo ile w poprzednim sezonie. Parę lęgową stwierdzono także na Podkarpaciu (od 5 lat istnieje tam tylko jedno stanowisko lęgowe). Od roku 2017 krajowa populacja kraski jest stabilna na bardzo niskim poziomie 13–16 par (MPP 2021).

Tabela 26. Liczba par, zajętych powierzchni 10 × 10 km i rozpowszechnienie kraski *Coracias garrulus* w regionach ornitologicznych Polski w roku 2021

Table 26. Number of pairs (1), occupied 10 × 10 km squares (2) and occupancy (3) of the European Roller in ornithological regions in Poland in 2021. (4) – total

	DS	GS	KU	LD	LL	MP	MZ	PK	PL	PM	SW	WM	WP	ZL	Razem (4)
N par (1)							15	1							16
N pow (2)							6	1							7
Rozp (%) (3)							1,5	0,5							0,2

Sokół wędrowny *Falco peregrinus*

Liczebność: 68 p.	Trend: wzrost (2000–2021)	Kompletność: wysoka
-------------------	---------------------------	---------------------

Stwierdzono 68 par w 10 regionach (tab. 27). Największe populacje zasiedlają Pomorze (27 p.) i Dolny Śląsk (15 p.). Stanowiska znajdowały się w miastach (29 p.), lasach (21 p.), na słupie wysokiego napięcia (1 p. na Pomorzu) (Stowarzyszenie Na Rzecz Dzikich Zwierząt Sokół, S. Sielicki i in.), w kamieniołomach (3 p. na Dolnym Śląsku; M. Domagała, D. Panasiuk, K. Struś) oraz w górach (14 p.). W górach sokół wędrowny gniazdował w Karkonoszach (4 p.; A. Pałucki), Tatrach (4 p.; S. Broński), Górach Stołowych (3 p.; R.

Tabela 27. Liczba par sokoła wędrownego *Falco peregrinus* w regionach ornitologicznych Polski w roku 2021

Table 27. Number of pairs (1) of the Peregrine Falcon in ornithological regions in Poland in 2021. (2) – total

	DS	GS	KU	LD	LL	MP	MZ	PK	PL	PM	SW	WM	WP	ZL	Razem (2)
N par (1)	15		3	1	2	6	7			27		1	3	3	68

Mikusek), Pieninach (2 p.; B. Kozik) i Masywie Śnieżnika (1 p.; R. Mikusek). W roku 2021 odnotowano aż o 12 par więcej niż w roku poprzednim (Chodkiewicz et al. 2022) i jest to najwyższa liczebność krajowej populacji od około siedmiu dekad. Populacja górską od 3 lat utrzymuje się na stałym poziomie, natomiast wzrasta populacja zasiedlająca tereny miejskie, kompleksy leśne oraz kamieniołomy (Sikora et al. 2020, Ławicki et al. 2021, Chodkiewicz et al. 2022).

„Srokosz stepowy” *Lanius excubitor homeyeri*

Liczebność: 1 p.	Trend: nieznan (2013–2021)	Kompletność: niska
------------------	----------------------------	--------------------

Jedynym stwierdzeniem była obserwacja dorosłego „srokosza stepowego” przebywającego w kwietniu i maju w parze z drugim osobnikiem (prawdopodobnie podgatunku nominatywnego) w Delastowicach na Ziemi Świętokrzyskiej (J. Święch). Poza tym dokonano w kraju co najmniej trzech obserwacji „srokoszy stepowych” w okresie kwiecień–czerwiec, które zakwalifikowano jako osobniki najprawdopodobniej niełęgowe (Sikora et al. 2023).

Czarnowron *Corvus corone*

Liczebność: 4 p.	Trend: nieznan (2000–2021)	Kompletność: niska
------------------	----------------------------	--------------------

Czarnowrony stwierdzono na 4 stanowiskach – po jednym na Górnym Śląsku, Pomorzu, Ziemi Lubuskiej i Ziemi Łódzkiej (tab. 28). Wszystkie dotyczyły par mieszańców z wroną siwą *C. cornix*. Tylko na 2 stanowiskach stwierdzono pewne lęgi. Na Górnym Śląsku przez cały sezon lęgowy obserwowano parę na terenie ogrodu zoologicznego w Chorzowie (K. Koźlik). Ptaki te zbudowały gniazdo, ale nie ma pewności czy złożyły w nim jaja. W Parku Poniatowskiego w Łodzi 10.05 obserwowano parę (T. Kłys), a w Międzywodziu na Pomorzu 20.04 stwierdzono parę w gnieździe (R. Mendakiewicz). Gniazdo z jajami stwierdzono także 26.04 w PN Ujście Warty (P. Czechowski, P. Zduniak). Stanowiska z Chorzowa i Łodzi znane są od kilku lat. Ponadto po raz kolejny stwierdzono lęg pary w Zabrze-Mikulczycach, w której samiec był mieszkańcem czarnowrona z wroną siwą, a samica wroną siwą – 28.05 obserwowano parę z dwoma podlotami (S. Beuch). Tego stanowiska nie uwzględniono w podsumowaniu.

Tabela 28. Liczba par, zajętych powierzchni 10×10 km i rozpowszechnienie czarnowrona *Corvus corone* w regionach ornitologicznych Polski w roku 2021

Table 28. Number of pairs (1), occupied 10×10 km squares (2) and occupancy (3) of the Carrion crown *Corvus corone* in ornithological regions in Poland in 2021. (4) – total

	DS	GS	KU	LD	LL	MP	MZ	PK	PL	PM	SW	WM	WP	ZL	Razem (4)
N par (1)		1		1						1				1	4
N pow (2)		1		1						1				1	4
Rozp (%) (3)		0,7		0,7						0,2				0,8	0,1

Wodniczka *Acrocephalus paludicola*

Liczebność: 4724 ♂♂	Trend: stabilny (2011–2021)	Kompletność: bardzo wysoka
---------------------	-----------------------------	----------------------------

Wodniczka została wykazana na 31 powierzchniach w 7 regionach (tab. 29). Podczas liczeń na 100 transektach prowadzonych w zasadniczym areale gatunku, obejmujących Biebrzański PN (80 transektów), Chełmskie Torfowiska Węglanowe i Bagno Bubnów (po

10 transektów), odnotowano 1 110 s., a łączną liczebność na tych łągowiskach oceniono na 4 572 śpiewających samców (95% przedział ufności: 4 031–5 216). Poza tymi obszarami kolejne 114 s. stwierdzono na stanowiskach punktowych. Na Podlasiu była stwierdzona na 9 stanowiskach, w tym najliczniej na Bagnie Wizna (59 s.) oraz w rezerwatach OTOP na Mścichach (23 s.) i Szorach (15 s.), które zostały uwzględnione także w modelowaniu liczebności w najważniejszych obszarach występowania, a także w Narwiańskim PN (15 s.). Ponadto w tym regionie występowała jeszcze w dolinie Narwi w ok. Drozdowa (6 s.), w okolicy Zajek (4 s.) oraz w dolinie Przerwy (1 s.). Na Lubelszczyźnie odnotowano ją w dolinie Tyśmienicy (7 s.) oraz dolinie Muławy (1 s.), a także na granicy z Mazowszem w dolinie Wieprza (3 s.). Ponadto na Mazowszu stwierdzona na 3 stanowiskach: w Dolinie Omulwi i Płodownicy (3 s.) oraz na dwóch nowych w Dolinie Wkry i Mławki (1 s.) oraz k. Kunina w dolinie Narwi (1 s.). W Wielkopolsce wykryta na 2 stanowiskach – w dolinie Noteci (4 s.) i nad Kanałem Mosińskim (2 s.), na Ziemi Lubuskiej w PN Ujście Warty (3 s.), na Warmii i Mazurach w okolicach Lelka (2 s.), na Pomorzu Zachodnim w Wolińskim PN (1 s.) i na Bagnach Rozwarowskich (1 s.). Trend liczebności wodniczki w latach 2007–2021 był stabilny ($\lambda=1,0055$, $SE=0,0055$). Odnotowano kontynuację spadku liczebności wodniczki na Lubelszczyźnie, w szczególności na obszarze Poleskiego PN. Pomimo tego, prawdopodobnie wskutek korzystnych warunków pogodowych i hydrologicznych, populacja wodniczki wróciła do wcześniejszego poziomu po gwałtownym spadku w roku 2020, głównie ze względu na wzrost liczebności największej populacji bieberzańskiej.

Tabela 29. Liczba zajętych powierzchni 10×10 km i rozpowszechnienie wodniczki *Acrocephalus paludicola* w regionach ornitologicznych Polski w roku 2021

Table 29. Number of males (1) occupied 10×10 km squares (2) and occupancy (3) of the Aquatic Warbler in ornithological regions in Poland in 2021. (4) – total

	DS	GS	KU	LD	LL	MP	MZ	PK	PL	PM	SW	WM	WP	ZL	Razem (4)
N samców (1)					156		5		1088	2		2	6	3	1262
N pow (2)					7		3		15	2		1	2	1	31
Rozp (%) (3)					3,1		0,7		7,2	0,4		0,4	0,6	0,8	0,9

Pomurnik *Tichodroma muraria*

Liczebność: nieznana (min. 1 p.) Trend: spadek (2000–2021) Kompletność: niska

Podobnie jak w poprzednich dwóch latach (Ławicki et al. 2021, Chodkiewicz et al. 2022) stwierdzono tylko jedną parę w rejonie Raptawickiej Turni w Tatrzańskim PN, gdzie odnotowano udany leg obserwując w lipcu parę i 2 młode (D. Bezwińska-Sikora i in.). Bez pełnej inwentaryzacji w Tatrach określenie krajowej populacji pomurnika jest niemożliwe.



Fot. 5. Pomurnik *Tichodroma muraria*, Dolina Kościeliska, Tatry Zachodnie, 20.06.2021 (fot. M. Baran) – Wallcreeper, Kościeliska Valley, Western Tatra Mts., June 2021

Droździk *Turdus iliacus*

Liczebność: nieznaną	Trend: spadek (2000–2021)	Kompletność: niska
----------------------	---------------------------	--------------------

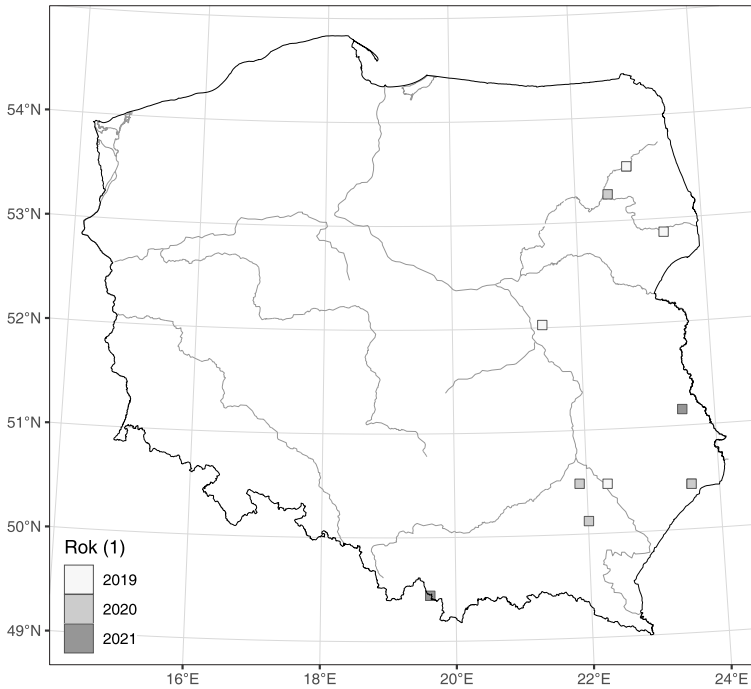
Terytorialnego samca odnotowano w okresie 5–18.05 na Polanie Białowieskiej (J. Barczyk, O. Karpińska, G. Neubauer). Ponadto śpiewającego samca słyszano także 21.05 na obrzeżach Czerwonego Bagna w Biebrzańskim PN (A. Grajewska, Krajewski et al. 2023). W roku 2018 droździki stwierdzono na dwóch stanowiskach, w tym obserwowano silnie zaniepokojonego ptaka dorosłego w Puszczy Białowieskiej (Sikora et al. 2020). W kolejnym sezonie odnotowano 2 śpiewające samce na Podlasiu (Ławicki et al. 2021), a w roku 2020 nie potwierdzono obecności gatunku w sezonie lęgowym (Chodkiewicz et al. 2022). Regres populacji krajowej wpisuje się w ogólny trend ustępowania gatunku, najsilniej zaznaczony w południowo-zachodniej części jego zasięgu (Keller et al. 2020).

„Pliszka tundrowa” *Motacilla flava thunbergi*

Liczebność: 3 p.	Trend: nieznaną (2000–2021)	Kompletność: niska
------------------	-----------------------------	--------------------

W roku 2021 zaniepokojone samce obserwowano w dwóch miejscach na Lubelszczyźnie: k. Karolinówki w pobliżu Chełma w okresie 10.05–3.06 (R. Cymbała, P. Różyc i in.) oraz w m. Korhynie k. Tomaszowa Lubelskiego 15.06 (R. Cymbała). Ponadto 28.06 obserwowano zaniepokojonego samca, a 14.07 samca z jednym młodym nad Zb. Orawskim w Małopolsce (G. Błachuta). Jak dotąd jest to najdalej na południe wysunięte miejsce gniazdowania „pliszki tundrowej” w Polsce (rys. 10). Niemal wszystkie stanowiska lęgowe tej pliszki wykazano w Polsce wschodniej, a w części zachodniej odnotowano lęg tylko w roku 2009 w Sypniewie k. Złotowa na Pomorzu (Stawarczyk et al. 2017). Iden-

tyfikację samców lęgowych w Polsce o cechach podgatunku *thunbergi* komplikuje fakt ekspansji południowego podgatunku *feldegg* (Ferlini 2016) i możliwość jego hybrydyzowania z podgatunkiem nominatywnym i *thunbergi*. Ponadto wśród samców *thunbergi* około 5% stanowią ptaki o ubarwieniu głowy jak u podgatunku *feldegg* (Hellquist 2021).



Rys. 10. Rozmieszczenie stanowisk lęgowych „pliszki tundrowej” *Motacilla flava thunbergi* w Polsce w latach 2019–2021

Fig. 10. Distribution of the Grey-headed Yellow Wagtail breeding sites in Poland in 2019–2021. (1) – number of breeding pairs in each 10 × 10 km square

W poprzednim raporcie za rok 2020 nie uwzględniono dwóch lęgowych samców „pliszki tundrowej” z Podlasia, obserwowanych z pokarmem dla piskląt w Dolistowie Nowym w dolinie Biebrzy oraz w Brzezinach w dolinie Narwi (Ł. Krajewski). W roku 2020 stwierdzono więc co najmniej 5 lęgowych samców (po 2 na Podlasiu i Podkarpaciu oraz 1 na Lubelszczyźnie). Poprawiona tabela podsumowująca liczebność taksonu w sezonie 2020 znajduje się w erracie na końcu raportu.

Tabela 30. Liczba par, zajętych powierzchni 10 × 10 km i rozpowszechnienie „pliszki tundrowej” *Motacilla flava thunbergi* w regionach ornitologicznych Polski w roku 2021

Table 30. Number of pairs (1), occupied 10 × 10 km squares (2) and occupancy (3) of the Grey-headed Yellow Wagtail in ornithological regions in Poland in 2021. (4) – total

	DS	GS	KU	LD	LL	MP	MZ	PK	PL	PM	SW	WM	WP	ZL	Razem (4)
N par (1)					2	1									3
N pow (2)					2	1									3
Rozp (%) (3)					0,9	0,5									0,1

Pliszka cytrynowa *Motacilla citreola*

Liczebność: 30 p.
(poza Bagnami Biebrzańskimi)

Trend: wzrost, ostatnio stabilny
(2000–2021)

Kompletność: średnia

Łęgi odnotowano w 5 regionach z łączną liczebnością 30 p. (tab. 31). W ocenie tej nie uwzględniono populacji biebrzańskiej, dla której nie dysponujemy kompletnymi danymi dla tego sezonu. Stwierdzono tam co najmniej 24 p. (Ł. Krajewski i in.), a więc znacznie poniżej szacowanej tam ostatnio liczebności, która wynosiła 60–120 par (Krajewski et al. 2023). Na Podlasiu (z wyłączeniem obszaru nad Biebrzą) stwierdzono 5 p., z czego min. 2 p. na zb. Siemianówka (D. Michalski, M. Polakowski) (co jest prawdopodobnie wynikiem znacznie zaniżonym) oraz 3 p. w kopalni torfu w Lewszach (G. Grygoruk). Na Pomorzu gatunek stwierdzono na 6 stanowiskach, w tym w Delcie Świny – na wyspach Koprzywskie Łęgi i Karsiborska Kępa – po 1 p. (Z. Kajzer) i Wyspie Wydrzej – 2 p. (G. Kiljan). Kolejne stanowiska znajdowały się w rejonie Zatoki Gdańskiej, w tym najliczniej przy ujściu Redy – łącznie 10 p. (A. Kośmicki, T. Jędrzejczak) i na Zielonych Wyspach w Gdańsku-Górkach Zachodnich – 2 p. (A. Sikora). W południowej części kraju wykryto łągi 10 p. na 5 stanowiskach w trzech regionach. Na Dolnym Śląsku w Brzeziej Łące, obserwowano 1 p. mieszaną (samica pliszki cytrynowej z samcem pliszki żółtej *Motacilla flava*) noszącą pokarm dla piskląt (G. Neubauer). Na Górnym Śląsku stwierdzono 2 stanowiska z 3 p.: 1 p. w Dąbrowie Górniczej, gdzie trzeci rok z rzędu gniazdowała samica będąca mieszańcem pliszki cytrynowej z pliszką żółtą (R. Gwóźdź) i 2 p. nad Zb. Turawskim (J. Stasiak, A. Stasiak). Pozostałe 2 stanowiska pochodzą z Kotliny Orawsko-Nowotarskiej w Małopolsce, gdzie aż 5–6 p. lęgowych stwierdzono nad Zb. Orawskim (G. Błachuta, M. Jarończyk i in.) oraz 1 p. z podlotami w Czarnym Dunajcu (G. Błachuta). Łączna liczebność pliszki cytrynowej w roku 2021 była niższa od tej z roku 2020 (39 p.) i 2019 (35 p.). Po wyraźnym wzroście liczebności i arealu pliszki cytrynowej w ciągu około 20 lat od pierwszych lęgów jej populacja w ostatnich kilku latach jest względnie stabilna. Zasiedla niewielki areal obejmujący 3 stałe lęgowiska: Dolina Biebrzy, zb. Siemianówka i łąki przy ujściu Redy oraz kilkanaście stanowisk zwykle zajmowanych nie dłużej niż przez 5 lat (Stawarczyk et al. 2017, Sikora et al. 2020, Ławicki et al. 2021, Chodkiewicz et al. 2022). Krótkotrwale ich zajmowanie wynika nie tylko z położenia na skraju zasięgu, ale również z obniżania się poziomu wód, np. w rezerwacie Bielawa na Pomorzu w najlepszym roku 2014 liczebność pliszki cytrynowej oceniono na 10 p., a potem wraz z przesuszaniem torfowiska nastąpił spadek liczby par (Sikora & Póttorak 2019) i w roku 2021 już nie potwierdzono jej lęgów (A. Sikora).

Tabela 31. Liczba par, zajętych powierzchni 10 × 10 km i rozpowszechnienie pliszki cytrynowej *Motacilla citreola* w regionach ornitologicznych Polski w roku 2021 (poza głównym lęgowiskiem na Bagnach Biebrzańskich)

Table 31. Number of pairs (1), occupied 10 × 10 km squares (2) and occupancy (3) of the Citrine Wagtail in ornithological regions in Poland in 2021 (outside the main breeding area in the Biebrza Marshes). (4) – total

	DS	GS	KU	LD	LL	MP	MZ	PK	PL	PM	SW	WM	WP	ZL	Razem (4)
N par (1)	1	3				6			5	15					30
N pow (2)	1	2				3			2	3					11
Rozp (%) (3)	0,4	1,5				1,4			1,0	0,6					0,3

Dziękujemy wszystkim obserwatorom, którzy brali udział w Monitoringu Ptaków Polski lub przekazali swoje obserwacje do regionalnych kartotek ornitologicznych, ogólnokrajowej bazy obserwacji ornitho.pl lub bezpośrednio do koordynatorów Kartoteki Rzadkich Ptaków. Mamy nadzieję, że przedstawione w raporcie wyniki zachęcą Was do kontynuowania współpracy, a pozostałych do wprowadzania swoich danych do internetowych baz, tak by kolejne raporty były jeszcze bardziej kompletne. Za udostępnienie zdjęć do niniejszej publikacji dziękujemy Michałowi Baranowi, Łukaszowi Bednarzowi, Michałowi Rycakowi i Stanisławowi Turowskiemu.

Lista obserwatorów: R. Adamiak, S. Aftyka, A. Aftyka, M. Aleksandrowicz, J. Antczak, K. Antczak, J. Antczak, K. Antoń, M. Bagińska, U. Bagiński, C. Baier, T. Bajdak, W. Bajerowski, T. Bajor, J. Banach, M. Baran, D. Baran, P. Baranowski, M. Barcz, J. Barczyk, T. Baziak, K. Baziak, J. Bednarz, Ł. Bednarz, J. Betleja, M. Betlejewicz, S. Beuch, B. Beyer, D. Bezwińska-Sikora, M. Białek, P. Białomyzy, K. Bieńkowski, S. Biernacki, T. Biwo, T. Błachucik, M. Blank, G. Błachuta, J. Błaż, A. Błąd, W. Błoniarz, M. Boenisch, M. Bojarowski, K. Bolechowski, Ł. Borek, D. Boroń, M. Borowik, K. Borowik, A. Borowski, Ł. Bożycki, B. Brewka, M. Bronisz, M. Broniszewska, S. Broński, A. Buczyński, M. Bukacińska, D. Bukaciński, K. Bul, P. Butkiewicz, S. Bzoma, Z. Cenian, M. Charymski, A. Chlebowski, T. Chodkiewicz, W. Chróścik, A. Chwierut, M. Chwistek, P. Chylarecki, D. Cierplikowski, S. Cios, M. Cmoch, M. Cousens, Ł. Cudziło, R. Cymbała, D. Czajka, K. Czajowski, B. Czarnecki, K. Czarnocki, D. Cząstkiewicz, P. Czechowski, S. Czernek, D. Czernek, B. Czerwiński, W. Czuchryta, P. Czułowski, M. Czupryna, S. Czyż, I. Danielecka, R. Danielecki, M. Dec, K. Deoniziak, A. Dmoch, P. Doboszewski, J. Dobrzyński, M. Dojlida, M. Domagała, P. Dombrowski, K. Drab, T. Drazny, A. Drzazgowska, M. Duda, K. Dudzik, M. Dudzik, J. Dukała, W. Durniat, M. Duszyńska, R. Dworak, A. Dybich, D. Dydo, M. Dyduch, M. Dylawerski, A. Dylak, A. Dziadkiewicz, M. Dziedzioch, P. Dziefakowski, E. Dzierła, M. Dziermańska, M. Elas, I. Engel, M. Filipiuk, A. Filipowicz, A. Flis, P. Flis, T. Folta, T. Frączek, R. Fudalej, S. Gacek, M. Gajewski, M. Gałan, A. Gałązka-Gogołek, D. Gatkowski, S. Gibowski, M. Gierszewski, M. Giertych, J. Gil, S. Giza, R. Głąbski, Ma. Goc, Mi. Goc, T. Gogołek, A. Goławski, J. Gommel, J. Goniewicz, N. Gorczowska, B. Gott, I. Górecka, M. Górska, I. Górska, P. Górski, A. Górski, M. Grabek, A. Grajewska, A. Graversen, I. Gryć, G. Grygoruk, J. Grzybek, G. Grzywaczewski, W. Gustaw, J. Gustyn, M. Gutowski, R. Gwóźdź, K. Haja, Ł. Haluch, R. Hałaburda, F. Hayatli, K. Henel, P. Hermański, D. Hojdała, M. Horbach, T. Iciek, M. Ickiewicz, Ł. Iłczok, A. Jabłonka, J. Jagielko, K. Jainta, E. Janas, A. Janczyszyn, T. Janiszewski, K. Jankowski, Ł. Janocha, M. Jantarski, M. Jarończyk, M. Jasiński, Z. Jaszcz, G. Jaszewska, M. Jezierski, M. Jędro, G. Jędro, T. Jędrzejczak, A. Jędrzejko, M. Józefowska, M. Jurek, G. Kaczmarczyk, S. Kaczmarek, M. Kaczmarek, G. Kaczorowski, S. Kaczorowski, K. Kajzer, Z. Kajzer, J. Kaliciuk, K. Kalinowska-Wysocka, M. Kalisiński, A. Kaniewska-Skoczylas, M. Kapelski, A. Karolak, M. Karpeta, S. Karpicki-Ignatowski, O. Karpińska, J. Karwacki, M. Karwowski, Z. Kasprzykowski, T. Kawiak, J. Kazimierski, K. Kąciak, A. Kąkol, R. Kempa, P. Kęsik, S. Kielan, G. Kiljan, M. Klewiado, M. Klęk, R. Klimczak, P. Kłonowski, T. Kłys, K. Kmieć-Kwaszek, T. Kniola, M. Knitter, T. Kobylas, M. Kociniak, M. Kołodziejczyk, W. Kołodziejczyk, P. Kopacz, K. Korczyńska-Hanak, M. Korga, M. Korniluk, P. Kosecki, A. Kosicka, P. Kosidło, J. Koss, M. Koss, W. Kostecki, T. Kosut, M. Kosut, A. Kośmicki, B. Kotlarz, J. Kowal, M. Kowalczuk, A. Kowalczyk, K. Kowalczyk, B. Kozik, R. Kozik, M. Kozioł, K. Kozłowski, K. Koźlik, Ł. Krajewski, P. Kras, B. Krąkowski, M. Krencik, J. Krogulec, W. Kroker, A. Król, T. Królak, W. Kruk, K. Krukowski, A. Krupa, H. Krupa, D. Krupiński, E. Krywko, S. Kuczmarski, R. Kuczmaszewski, R. Kudłacik, M. Kujawa, D. Kujawa, T. Kułakowski, M. Kulmajer, P. Kunowski, K. Kurkowski, R. Kurowski, B. Kusał, K. Kusał, M. Kuszner, A. Kut, J. Labzik, K. Labzik, Ż. Lachowska-Filipiuk, K. Laskowicz, D. Lebensztejn, M. Ledwoń, M. Legutko, W. Lenkiewicz, M. Leśniak, J. Lewandowska, P. Lewandowski, K. Liersz-Żelasko, S. Ligęza, H. Linert, A. Lipiński, S. Lisek, M. Lizoń, R. Locman, G. Lorek, A. Lorecki, K. Lubińska, P. Łabaj, M. Łaguna, K. Łanocha, D. Łapiński, Ł. Ławicki, M. Łazuta, A. Łepeć, M. Łodziński, S. Łopacki, H. Łożyńska, M. Łuczkiwicz, B. Łukaszewicz, M. Łukaszewicz, H. Łukomska, A. Łużyński, R. Maciągowski, G. Maciorowski, R. Mackiewicz, P. Majchrzak, K. Malec, J. Maliczak, B. Manikowska-Ślepowrońska, A. Marchowska, D. Marchowski, P. Marczakiewicz, P. Marczakowski, M. Markiewicz, P. Markiewicz, I. Masłowski, T. Maszkało, L. Matacz, M. Materek, K. Matusik, Ł. Matyjasiak, K. Matyjasik, S. Mazgaj, P. Mazurek, T. Mazurkiewicz, Ł. Meina, R. Mendakiewicz, M. Menderek, S.

Menderski, M. Mendrek, M. Mentlewicz, W. Michalak, W. Michalczuk, W. Michalik, D. Michalski, S. Mielczarek, S. Mielczarek, J. Mikołajczuk, A. Mikrut, R. Mikusek, P. Minias, S. Miotk, P. Mirski, C. Mitrus, T. Mizera, A. Mogielka, T. Mokwa, A. Mrugasiewicz, Ł. Mucha, M. Müller, M. Murawski, T. Musiał, R. Musioł, J. Mydlak, O. Myka, E. Nalepa, G. Neubauer, M. Niedzielski, S. Niedźwiecki, J. Niemiec, M. Nieoczym, S. Niziński, L. Noga, F. Norman, B. Nowak, P. Nowak, A. Nowak, S. Nowakowski, M. Nowicki, P. Obłóża, A. Olszewski, B. Orłowska, G. Orłowski, T. Orzechowski, G. Pac, M. Paciorek, A. Pałgan, D. Pałubicki, D. Panasiek, P. Panek, E. Paprzycka, A. Parapura, K. Paryś, P. Pasiak, A. Pasiak, P. Pasterski, Z. Paśnik, M. Pawelec, A. Pawlicka, K. Pawlukojć, P. Pawłowicz, K. Pensko, K. Petka, M. Piątkowski, D. Piechota, J. Pielaszkiwicz, H. Piernikarczyk, M. Pietrewicz, T. Pietrzak, J. Pińkowska, K. Piotrowicz, P. Piotrowska, M. Piotrowski, W. Plata, P. Pluciński, M. Pluta, D. Płachocki, Ł. Pobiedziński, M. Poddaniec, P. Podlas, M. Polakowski, K. Polański, B. Popiołek, G. Potakiewicz, W. Półtorak, F. Prończuk, G. Proske, J. Pruchniewicz, M. Pruszyński, J. Przedrzymirska, M. Przybysz, M. Przymencki, M. Przysański, K. Pytel, A. Pyzik, P. Radek, L. Radziejowska-Szul, M. Radziszewski, D. Rancew-Sikora, J. Rapczyński, J. Ratajczak, M. Rebiś, M. Rodziejewicz, A. Rodziejewicz, M. Rowicki, P. Różyc, A. Różycki, S. Rubacha, S. Rybka, M. Rycak, P. Rymwid-Mickiewicz, A. Ryś, M. Rzępała, R. Sadlik, B. Sarnowski, W. Sawicki, R. Sasiadek, G. Schneider, H. Schwarz, N. Seift, S. Sendera, A. Sereda-Czastkiewicz, M. Sidelnik, P. Siejka, S. Sielicki, P. Sieracki, D. Sikora, A. Sikora, J. Sikorski, A. Sikorski, D. Siwy, K. Skorb, S. Skrobiński, J. Słowikowski, M. Słowikowski, W. Smała, Ś. Smoczyński, M. Smolak, B. Smyk, L. Smyk, M. Sobieraj, M. Sołowiej, D. Sowa, I. Sowińska-Fruhtrunk, S. Springer, P. Stachyra, M. Stajszczyk, J. Stalenga, L. Stankiewicz, A. Stankowski, P. Stańczak, K. Stasiak, J. Stasiak, A. Stasiak, D. Stasiowski, A. Staszewski, T. Stawarczyk, J. Staworko-Petka, J. Stępniewski, M. Stój, K. Struś, E. Suchożebrska, W. Sularz, A. Sulej, A. Syguła, J. Synowiecki, M. Szajda, K. Szaniawski, L. Szarzyński, W. Szczepaniak, E. Szczepankiewicz, R. Szczerbik, R. Szczęch, M. Szeruga, P. Szewczyk, D. Szłama, A. Szuksztul, M. Szwarz, D. Szymaniak, K. Szymański, J. Szymczak, A. Szypicyn, M. Ściborska, M. Ściborski, K. Ślepowroński, S. Śliwiński, K. Ślusarski, Z. Świątek, T. Świątek, J. Świątek, P. Świętochowski, D. Światała, T. Światała, M. Światała, M. Tajchman, F. Tanneberger, M. Traciłowska, A. Traczyk, M. Trybała, K. Trzciński, T. Tumił, S. Turowski, R. Tusiński, M. Twardowski, J. Typiak, T. Uchimiak, M. Urban, M. Wachecki, R. Wakulski, R. Walczybok, B. Walkowiak, Ł. Wardecki, S. Watras, M. Wawirowicz, Ł. Wawrzyniak, M. Wereszczuk, K. Wesolowski, D. Węclawek, A. Węgrzynowicz, M. Wężyk, P. Wieczorek, D. Wiehle, M. Wielik, A. Wiewiorowska, M. Więcek, I. Wilczyńska-Gadi, T. Wilk, A. Włodarczak-Komosińska, R. Włodarczyk, Z. Wnuk, J. Wojdat, M. Wojtak, M. Wojtkowiak, M. Wołowik, B. Woźniak, P. Woźniak, M. Woźny, J. Wójciak, C. Wójcik, S. Wręga, J. Wróbel, K. Wrzeczionkowski, A. Wuwer, B. Wydra, J. Wyka, P. Wylegała, K. Wypychowski, J. Wyrwał, J. Wysiński, R. Wysiński, P. Zaborowski, M. Zadrąg, J. Zajac, T. Zarzycki, D. Zawadzka, G. Zawadzki, J. Zawadzki, A. Zbyryt, R. Zdrojewski, P. Zduniak, F. Zdunkiewicz, P. Zieliński, K. Zięba, G. Ziolo, M. Ziółkowski, M. Zmitrowicz, C. Zontek, M. Zygmunt, P. Żarkiewicz, H. Żelichowska, M. Żochowska, A. Życki.

Literatura

- Bednorz J., Kupczyk M., Winięcki A., Kuźniak S. 2000. Ptaki Wielkopolski. Monografia faunistyczna. Wyd. Nauk., Poznań.
- Beuch S., Smyk B., Czechowski P., Lenkiewicz W., Cieślak M., Rubacha S. 2017. Zanik populacji kulika wielkiego *Numenius arquata* i rycyka *Limosa limosa* na Śląsku na początku XXI w. Ptaki Śląska 24: 43–62.
- Chodkiewicz T., Neubauer G., Sikora A., Ławicki Ł., Meissner W., Bobrek R., Cenian Z., Bzoma S., Betleja J., Kuczyński L., Moczarska J., Rohde Z., Rubacha S., Wieloch M., Wylegała P., Zielińska M., Zieliński P., Chylarecki P. 2018. Monitoring Ptaków Polski w latach 2016–2018. Biul. Monitoringu Przyrody 17: 1–90.
- Chodkiewicz T., Chylarecki P., Sikora A., Wardecki Ł., Bobrek R., Neubauer G., Marchowski D., Dmoch A., Kuczyński L. 2019. Raport z wdrażania art. 12 Dyrektywy Ptasiej w Polsce w latach 2013–2018: stan, zmiany, zagrożenia. Biul. Monitoringu Przyrody 20: 1–80.

- Chodkiewicz T., Beuch S., Ławicki Ł., Wylegała P., Betleja J., Bzoma S., Cenian Z., Cymbała R., Czechowski P., Czyż S., Dębowski P., Dylak A., Górski A., Grygoruk G., Guzik W., Hayatli F., Jankowski K., Kajzer Z., Krupiński D., Łukasik D., Matyjasiak Ł., Neubauer G., Sielicki S., Smyk B., Stasiak K., Wardecki Ł., Wężyk M., Wieloch M., Woźniak B., Zielińska M., Zieliński M., Sikora A. 2022. Kartoteka Rzadkich Ptaków w Polsce w roku 2020 – gatunki lęgowe. *Ornis Pol.* 63: 347–379.
- Chylarecki P., Chodkiewicz T., Neubauer G., Sikora A., Meissner W., Woźniak B., Wylegała P., Ławicki Ł., Marchowski D., Betleja J., Bzoma S., Cenian Z., Górski A., Korniluk M., Moczarska J., Ochocińska D., Rubacha S., Wieloch M., Zielińska M., Zieliński P., Kuczyński L. 2018. Trendy liczebności ptaków w Polsce. GIOŚ, Warszawa.
- Ferlini F. 2016. Evolution of the breeding range of the Black-headed Yellow Wagtail (*Motacilla flava feldegg*). *Rivista italiana di Ornitologia* 86: 29–64.
- Hellquist A. 2021. Identification and taxonomy of northern and eastern yellow wagtails – new pieces to the puzzle. *Dutch Birding* 43: 333–370.
- Kasprzykowski Z., Dmoch A., Gołowski A., Kozik R., Mitrus C. 2017. Zmiany liczebności wybranych lęgowych gatunków wodno-błotnych w Dolinie Dolnej Narwi i Dolinie Dolnego Bugu. *Ornis Pol.* 58: 1–11.
- Keller V., Herrando S., Voříšek P., Franch M., Kipson M., Milanese P., Martí D., Anton M., Klvaňová A., Kalyakin M.V., Bauer H.-G., Floppen R.P.B. 2020. European Bird Atlas 2. Distribution, Abundance and Change. European Bird Census Council & Lynx Edicions, Barcelona.
- Kołodziejczyk M., Mikusek R., Więcek M. 2022. Gadożer – pierwsze stwierdzenie lęgu w Lasach Sobiborskich w XXI w. *Chrońmy Przyr. Ojcz.* 78: 68–71.
- Komisja Faunistyczna 2017. Rzadkie ptaki obserwowane w Polsce w roku 2016. *Ornis Pol.* 58: 83–116.
- Komisja Faunistyczna 2018. Rzadkie ptaki obserwowane w Polsce w roku 2017. *Ornis Pol.* 59: 119–153.
- Komisja Faunistyczna 2019. Rzadkie ptaki obserwowane w Polsce w roku 2018. *Ornis Pol.* 60: 125–160.
- Krajewski Ł. 2016. Wybrane elementy biologii lęgowej pliszki cytrynowej *Motacilla citreola* na Bagnach Biebrzańskich. *Ornis Pol.* 57: 1–11.
- Krajewski Ł., Chodkiewicz T., Czernek S., Grajewska A., Henel K., Korniluk M., Maciorowski G., Marczakiewicz P., Mirski P., Neubauer G., Szczęch R., Świętochowski P., Tumiel T. 2023. Awifauna lęgowa Doliny Biebrzy – stan aktualny i zmiany. *Ornis Pol.* 64: 161–189.
- Lenkiewicz W., Smyk B. 2021. Ponowny lęg rycyka *Limosa limosa* na Śląsku. *Ptaki Śląska* 27: 61–64.
- Lenkiewicz W., Orłowska B., Stawarczyk T., Neubauer G., Smyk B. 2021. Trendy liczebności i stan poznania awifauny doliny Baryczy. *Ornis Pol.* 62: 259–292.
- Ławicki Ł., Niedźwiecki S., Sawicki W., Świętochowski P., Gołowski A., Kasprzykowski Z., Urban M., Wylegała P., Czechowski P., Prange M., Janiszewski T., Menderski S., Lenkiewicz W., Jantarski M. 2011. Liczne gniazdowanie rybitwy białoskrzydłej *Chlidonias leucopterus* w Polsce w roku 2010. *Ornis Pol.* 52: 85–96.
- Ławicki Ł., Beuch S., Chodkiewicz T., Wylegała P., Betleja J., Bzoma S., Cenian Z., Czechowski P., Czyż S., Dębowski P., Dylak A., Górski A., Grygoruk G., Jankowski K., Kajzer Z., Krupiński D., Matyjasiak Ł., Neubauer G., Sielicki S., Smyk B., Stasiak K., Wardecki Ł., Wężyk M., Wieloch M., Woźniak B., Zielińska M., Zieliński M., Sikora A. 2021. Kartoteka Rzadkich Ptaków w Polsce w roku 2019 – gatunki lęgowe. *Ornis Pol.* 62: 310–338.
- Matyjasiak Ł., Pagóski P., Chmielewski S., Kielan S. 2022. Jaki był ornitologiczny rok 2021 na Nizinie Mazowieckiej? *Kulon* 27: 141–181.
- Muszyńska A. 2022. Występowanie szablodzioba *Recurvirostra avosetta* w Polsce. *Ornis Pol.* 63: 12–28.
- MPP 2021. Wyniki Monitoringu Ptaków Polski w 2021 roku. Główny Inspektorat Ochrony Środowiska. <https://monitoringptakow.gios.gov.pl/raporty.html>.

- Rojek M., Stajszyk M. 2008. Pierwsze stwierdzenie lęgu gęsiówki egipskiej *Alopochen aegyptiaca* w Polsce. Ptaki Śląska 17: 79–82.
- Rubacha S., Zabłocki P., Nagler M., Mulawa A., Sierakowski M. 2022. Współczesne lęgi uszatki błotnej *Asio flammeus* w uprawach rolnych. Ornithologia Polonica 63: 391–397.
- Sikora A., Rohde Z., Gromadzki M., Neubauer G., Chylarecki P. (red.). 2007. Atlas rozmieszczenia ptaków lęgowych Polski 1985–2004. Bogucki Wyd. Nauk., Poznań.
- Sikora A., Wieloch M., Chylarecki P. 2012. Stan populacji lęgowej łąbiedzia krzykliwego *Cygnus cygnus* w Polsce. Ornithologia Polonica 53: 69–85.
- Sikora A., Ławicki Ł., Kajzer Z., Antczak J., Kotlarz B. 2013. Rzadkie ptaki lęgowe na Pomorzu w latach 2000–2012. Ptaki Pomorza 4: 5–81.
- Sikora A., Półtorak W. 2019. Zmiany liczebności żurawia *Grus grus* i łączaka *Tringa glareola* w rezerwacie Bielawa w latach 1983–2019 oraz wpływ działań ochronnych na awifaunę. Ornithologia Polonica 60: 285–299.
- Sikora A., Beuch S., Ławicki Ł., Wylegała P., Neubauer G., Betleja J., Bzoma S., Cenian Z., Czechowski P., Czyż S., Dębowski P., Dylík A., Górski A., Grygoruk G., Jankowski K., Kajzer Z., Krupiński D., Matyjasiak Ł., Smyk B., Sielicki S., Stasiak K., Wardecki Ł., Wężyk M., Wieloch M., Woźniak B., Zielińska M., Zieliński M., Chodkiewicz T. 2020. Kartoteka Rzadkich Ptaków w Polsce w roku 2018 – gatunki lęgowe. Ornithologia Polonica 61: 259–283.
- Sikora A., Marchowski D., Półtorak W. 2022a. Wykorzystywanie zalewisk bobrowych przez lęgowe łąbiedzie krzykliwe *Cygnus cygnus* i nieme *C. olor* na Wzniesieniach Górowskich (pn.-wsch. Polska). Ornithologia Polonica 63: 199–214.
- Sikora A., Wieloch M., Rohde Z. 2022b. Monitoring Podgorzałki. W: Chodkiewicz T., Lewandowska J., Wardecki Ł. (red.). 2022. Sprawozdanie z prac terenowych i opracowanie wyników uzyskanych w sezonie lęgowym w 2022 roku. Zadanie 1. Monitoring ptaków – prace terenowe i opracowanie wyników. Monitoring ptaków z uwzględnieniem obszarów specjalnej ochrony ptaków Natura 2000, lata 2021–2022. GIOŚ, Warszawa.
- Sikora A., Chodkiewicz T., Beuch S., Ławicki Ł., Cymbała R., Czechowski P., Czyż S., Dębowski P., Dylík A., Guzik W., Jankowski K., Kajzer Z., Krajewski Ł., Matyjasiak Ł., Smyk B., Wężyk M., Wylegała P. 2023. Kartoteka Rzadkich Ptaków w Polsce w roku 2021 – gatunki niełęgowe. Ornithologia Polonica 64: 200–242.
- Skelmose K., Larsen O.F. 2022. Projekt Ørn – Årsrapport 2021. DOF BirdLife Danmark.
- Staszewski A., Giergielewicz J., Niedźwiecki S. 1995. Pierwsze stwierdzenie gniazdowania szczydłaka (*Himantopus himantopus*) w Polsce. Not. Ornithologica 36: 367–368.
- Stawarczyk T., Cofta T., Kajzer Z., Lontkowski J., Sikora A. 2017. Rzadkie ptaki Polski. Studio B&W Wojciech Janecki, Sosnowiec.
- Tomiałojć L. 1990. Ptaki Polski. Rozmieszczenie i liczebność. PWN, Warszawa.
- Tomiałojć L., Stawarczyk T. 2003. Awifauna Polski: rozmieszczenie, liczebność i zmiany. PTPP „pro Natura”, Wrocław.
- Tumiel T., Białomyzy P., Grygoruk G., Korniluk M., Świętochowski P., Wereszczuk M. 2018. Wybrane gatunki ptaków lęgowych OSO Bagienna Dolina Narwi w latach 2011 i 2012 oraz zmiany ich liczebności. Ornithologia Polonica 61: 1–13.
- Wardecki Ł., Chodkiewicz T., Beuch S., Smyk B., Sikora A., Neubauer G., Meissner W., Marchowski D., Wylegała P., Chylarecki P. 2021. Monitoring Ptaków Polski w latach 2018–2021. Biul. Monitoringu Przyrody 22: 1–80.
- Wilk T. 2016. Kryteria lęgowości ptaków – materiały pomocnicze. Wersja 3 – 16.02.2016. OTOP, Marki.
- Wilk T., Chodkiewicz T., Sikora A., Chylarecki P., Kuczyński L. 2020. Czerwona lista ptaków Polski. OTOP, Marki.
- Wylegała P., Winiecki A., Mielczarek S., Antczak M., Chylarecki P. 2012. Spadek liczebności rycyka *Limosa limosa* w Wielkopolsce w latach 1980–2011. Ptaki Wielkopolski 1: 119–126.
- Zagalska-Neubauer M., Chodkiewicz T., Iciek T., Neubauer G., Zieliński P. 2022. Hybridization of the Mediterranean gull *Ichthyophaga melanocephala* in Poland. Pol. J. Ecol. 70: 175–184.

- Zbryrt A. 2019. Numbers and distribution of breeding population of the Great Egret *Ardea alba* in Poland. *Ornis Pol.* 60: 235–244.
- Zieliński P., Chodkiewicz T., Zielińska M., Iciek T., Sidelnik M., Szymczak J., Bukaciński D., Bukacińska M., Rudenko A., Neubauer G., Sikora A. 2022. Gniazdowanie mewy czarnogłowej *Ichthyaetus melanocephalus* w Polsce w latach 2006–2020 na tle sytuacji gatunku w Europie. *Ornis Pol.* 63: 83–99.

Errata *Ornis Pol.* 2022, 63, str. 375: zmienić tabelę 30 na poniższą.

Tabela 30. Liczba par, zajętych powierzchni 10×10 km i rozpowszechnienie (%) „pliszki tundrowej” *Motacilla flava thunbergi* w regionach ornitologicznych Polski w roku 2020

Table 30. Number of pairs (1), occupied 10×10 km squares (2) and occupancy (3) of the Grey-headed Yellow Wagtail in ornithological regions in Poland in 2020. (4) – total

	DS	GS	KU	LD	LL	MP	MZ	PK	PL	PM	SW	WM	WP	ZL	Razem (4)
N par (1)					1			2	2						5
N pow (2)					1			2	2						5
Rozp (%) (3)					0,4			1,0	1,0						0,2